

حاشا  
الرحمن الرحيم





دانشکده علوم ریاضی

رشته ریاضی کاربردی، گرایش گراف و ترکیبیات

پایان نامه کارشناسی ارشد

# کدهای کامل و چندمجموعه‌ای روی کانال‌های جایگشتی و سادک‌های گسسته

نگارنده: آنسه اسلامی

استادان راهنما

دکتر صادق رحیمی شهرباف

دکتر عبدالله آل‌هوز

تیر ماه ۱۳۹۶



تقدیم به اولین معلّمان زندگیّم  
پدر و مادر عزیزم

پروردگارا...

نه می‌توانم مویشان را که در راه عزت من سفید شد،  
سیاه کنم و نه برای دست‌های پینه بسته‌شان که ثمره  
تلاش برای افتخار من است، مرهمی دارم. پس توفیقم  
ده که هر لحظه شکرگزارشان باشم و ثانیه‌های عمرم را  
در عصای دست بودنشان بگذارم.

از اساتید بزرگوارم جناب آقای دکتر آل‌هوز و جناب آقای دکتر رحیمی شعرباف بسیار  
سپاسگذارم، چرا که بدون راهنمایی‌های ایشان تأمین این پایان‌نامه بسیار مشکل  
می‌نمود.

آنسه اسلامی

تیر ماه ۱۳۹۶

## تعهد نامه

اینجانب آنسه اسلامی دانشجوی کارشناسی ارشد رشته ریاضی کاربردی دانشکده علوم ریاضی دانشگاه صنعتی شاهرود، نویسنده پایان نامه با عنوان **کدهای کامل و چندمجموعه‌ای روی کانال‌های جایگشتی و سادک‌های گسسته**، تحت راهنمایی صادق رحیمی شعرباف متعهد می‌شوم:

- تحقیقات در این پایان نامه توسط اینجانب انجام شده است و از صحت و اصالت برخوردار است.
- در استفاده از نتایج پژوهش‌های دیگر پژوهش‌گران، به مرجع مورد استفاده استناد شده است.
- مطالب این پایان نامه، تا کنون توسط خود، یا فرد دیگری برای دریافت هیچ نوع مدرک یا امتیازی در هیچ‌جا ارایه نشده است.
- حقوق معنوی این اثر، به دانشگاه صنعتی شاهرود تعلق دارد، و مقالات مستخرج با نام “دانشگاه صنعتی شاهرود” یا “Shahrood University of Technology” به چاپ خواهد رسید.
- حقوق معنوی تمام افرادی که در به‌دست آوردن نتایج اصلی پایان نامه تاثیرگذار بوده‌اند، در مقالات مستخرج از پایان نامه رعایت می‌گردد.
- در تمام مراحل انجام این پایان نامه، در مواردی که از موجود زنده (یا بافت‌های آنها) استفاده شده است، ضوابط و اصول اخلاقی رعایت شده است.
- در تمام مراحل انجام این پایان نامه، در مواردی که به حوزه اطلاعات شخصی افراد دسترسی یافته (یا استفاده شده است)، اصل رازداری و اصول اخلاق انسانی رعایت شده است.

**آنسه اسلامی**

**تیر ماه ۱۳۹۶**

### مالکیت نتایج و حق نشر

- تمام حقوق معنوی این اثر و محصولات آن (مقالات مستخرج، کتاب، برنامه‌های رایانه‌ای، نرم‌افزارها و تجهیزات ساخته شده) متعلق به دانشگاه صنعتی شاهرود می‌باشد. این مطلب باید به نحو مقتضی، در تولیدات علمی مربوطه ذکر شود.
- استفاده از اطلاعات و نتایج موجود در این پایان نامه بدون ذکر منبع مجاز نمی‌باشد.





## چکیده

طراحی کدهای خوب از هر دو دیدگاه نظری و کاربردی مسأله‌ای بسیار مهم در نظریه کدگذاری است. از زمان پیدایش نظریه کدگذاری، پژوهشگران بسیاری در این راستا بسیار تلاش کرده و در جریان این تلاش‌ها گونه‌های جالب زیادی از این کدها را تولید کردند. در این پایان‌نامه قصد بررسی وجود یا عدم وجود کدهای کامل در سادک‌های گسسته و همچنین کدهای چندمجموعه‌ای در کانال‌های جایگشتی را داریم. ابتدا مقدمه‌ای از نظریه کدگذاری و تعاریف لازم برای ادامه‌ی مطالب مطرح شده‌است. سپس کدهای کامل در سادک‌های گسسته در ابعاد مختلف بررسی شده‌است و به این نتیجه می‌رسیم که کدهای کامل در الفبای دودویی همیشه وجود دارند و در الفبای سه‌تایی در حالتی خاص وجود دارند. در واقع نشان می‌دهیم کدهای کامل در  $1$ -سادک برای هر  $\ell \geq 2e+1$  وجود دارند، همچنین کد کامل در  $2$ -سادک وجود دارد، اگر و فقط اگر  $\ell = 3e+1$  باشد. در حالی که کدهای کامل در سادک‌های با بعد بالاتر وجود ندارند. به عبارت دیگر، کدهای کامل فقط روی الفبای دودویی و سه‌تایی وجود دارند. سپس کدهای چندمجموعه‌ای در کانال‌های جایگشتی و خطاهایی همچون حذف، وارد کردن و جایگزینی در کانال‌های جایگشتی بررسی می‌شود. در آخر، وجود کدهای کامل در مشبکه‌های  $A_n$  و  $\mathbb{Z}^n$  مورد بررسی قرار می‌گیرد.

کلمات کلیدی: کد کامل، سادک گسسته، کانال جایگشتی، کد چندمجموعه‌ای، مشبکه  $A_n$ ، مشبکه  $\mathbb{Z}^n$ ، وارد کردن، حذف، جایگزینی.



## لیست مقالات مستخرج از پایان نامه

۱. آنسه اسلامی، ”بررسی کدهای کامل در شبکه‌های  $\mathbb{Z}^n$  و  $A_n$ ”، چهارمین کنفرانس ملی فناوری اطلاعات، کامپیوتر و مخابرات، دانشگاه تربت حیدریه، ۲۲ تیرماه ۱۳۹۶.



# فهرست مطالب

س	فهرست تصاویر
۱	۱ تعاریف و مفاهیم اولیه
۲	۱.۱ مقدمه‌ای بر نظریه کدگذاری
۵	۱.۱.۱ کدهای کامل
۵	۲.۱.۱ سادک گسسته
۸	۳.۱.۱ کانال جایگشتی
۸	۴.۱.۱ چندمجموعه‌ای‌ها
۱۳	۲ کدهای کامل در سادک‌های گسسته
۱۵	۱.۲ الفبای دودویی
۱۹	۲.۲ الفبای سه‌تایی
۲۸	۳.۲ کدهای کامل در سادک‌های گسسته با ابعاد بالاتر
۳۳	۳ کدهای چندمجموعه‌ای در کانال‌های جایگشتی
۳۳	۱.۳ الفبای دودویی
۳۴	۲.۳ الفبای سه‌تایی
۴۰	۳.۳ حذف، وارد کردن و جایگزینی در کانال‌های جایگشتی
۴۰	۱.۳.۳ مدل کانال
۴۰	۲.۳.۳ تصحیح خطا در کانال‌های جایگشتی
۴۵	۴ بررسی کدهای کامل در شبکه‌های $\mathbb{Z}^n$ و $A_n$
۴۵	۱.۴ کدهای کامل در شبکه $\mathbb{Z}^n$
۴۹	۲.۴ کدهای کامل در شبکه $A_n$
۵۳	مراجع

۵۷

واژه‌نامه فارسی به انگلیسی

۵۹

واژه‌نامه انگلیسی به فارسی

# فهرست تصاویر

۶	سادک گسسته از طول ۷	۱.۱
۷	صفحه سادک گسسته در دستگاه مختصات سه بعدی	۲.۱
۱۵	کد ۱ - کامل در $\Delta_1$	۱.۲
۱۵	نمایش $\Delta_1$ در دستگاه مختصات	۲.۲
۱۹	همسایه‌های $x$ در $\Delta_2$	۳.۲
۲۰	تصویر لم ۱.۲.۲	۴.۲
۲۱	کد ۲ - کامل در $\Delta_2$	۵.۲
۲۶	تصویر لم ۴.۲.۲	۶.۲
۲۸	تصویر قضیه ۲.۲.۲	۷.۲
۳۳	کد چندمجموعه‌ای ۱ - کامل	۱.۳
۳۵	کد چندمجموعه‌ای ۲ - کامل	۲.۳
۳۶	اثبات ادعا ۱	۳.۳
۳۷	اثبات ادعا ۲	۴.۳
۳۸	اثبات ادعا ۳	۵.۳
۴۶	مجموعه $S = \{(0,0), (\pm 1,0), (0,\pm 1)\}$ روی $\mathbb{Z}^2$	۱.۴
۴۶	مجموعه انتقال‌های $S$	۲.۴
۴۷	یک نوع بسته‌بندی در $\mathbb{Z}^2$	۳.۴
۴۸	فرش کردن $\mathbb{Z}^2$	۴.۴
۴۹	مشبکه $A_2$	۵.۴
۴۹	کد کامل در $A_1$	۶.۴
۵۰	کد کامل در $A_2$	۷.۴
۵۰	کد کامل در $A_3$	۸.۴
۵۱	حالت مسطح کد کامل در $A_3$	۹.۴





# فصل ۱

## تعاریف و مفاهیم اولیه

کدگذاری یکی از شاخه‌های بسیار جالب و کاربردی ریاضیات است که همواره کاربردهای بسیاری در حوزه‌های گوناگون داشته است. در زمان جنگ جهانی دوم ریاضیدانان بسیاری با به‌کارگیری روشهای کدگذاری پیچیده سعی در کد کردن داده‌های نظامی داشتند به‌گونه‌ای که طرف مقابل نتواند آنها را کدگشایی کند. نظریه کدگذاری در رابطه با انتقال موفق اطلاعات در یک کانال پارازیت‌دار و تصحیح خطاها در پیام‌های مخدوش است. این نظریه برای بسیاری از کاربردها در علوم کامپیوتر و مهندسی اهمیت ویژه دارد.

نظریه کدگذاری در سال ۱۹۴۸ توسط شانون پایه‌ریزی شد. وی پی برده بود هنگامی که رایانه از یک عمل رایج نسخه‌برداری می‌کند و با عمل دیگری شروع به کار می‌کند، هرگز نمی‌تواند به حالت اولیه بازگردد. نظریه کدگذاری مثال قابل توجهی از ریاضی محض در حل مسائل علمی است. اگر چه برخی از کدهای ساده دارای ساختاری هستند که نیاز زیادی به ریاضیات ندارند، با این حال ویژگی کدها از کشفیات ریاضیات است. مانند هسته ارسال خطی که اثبات فعالیت‌های واقعی را ممکن می‌سازد و بدون این‌گونه برهان‌ها، کدها در حقیقت بدون استفاده می‌باشند. علاوه بر این، ریاضیات موجب ایجاد کدها در ابعاد دیگر می‌شود و با افزایش قابلیت تصحیح خطا، اثبات‌هایی را برای وجود یا عدم وجود کدها ارائه داده‌است.

## ۱.۱ مقدمه‌ای بر نظریه کدگذاری

در این قسمت، تعاریف مربوط به بخش گراف برگرفته از مرجع [۸] و تعاریف مربوط به بخش کدگذاری از مرجع [۳۸] می‌باشد.

**تعریف ۱.۱.۱.** گراف  $G$  یک سه‌تایی مرتب  $(V(G), E(G), \psi_G)$  متشکل از مجموعه‌ی ناتهی  $V(G)$  رأس‌ها و مجموعه‌ی  $E(G)$  یال‌های مجزا از  $V(G)$ ، و تابع وقوع  $\psi_G$  است که با هر یال  $G$ ، یک جفت نامرتب (نه لزوماً مجزا) از رأس‌های  $G$  را همراه می‌کند. اگر  $e$  یک یال  $u$  و  $v$  رأس باشند، به قسمی که  $\psi_G(e) = uv$  باشد، آنگاه می‌گویند  $e$  را به  $v$  وصل می‌کند، رأس‌های  $u$  و  $v$  را دو سر یال می‌نامند.

**تعریف ۲.۱.۱.** گراف مسیر گرافی است که رئوس آن را می‌توان به ترتیب  $\{v_1, v_2, \dots, v_n\}$  ذکر کرد، به طوری که یالهای آن به صورت  $\{v_i, v_{i+1}\}$  می‌باشند، درحالی‌که  $i = 1, 2, \dots, n-1$ . به طور معادل، یعنی گرافی که دو رأس آویزان (رأس با درجه یک) دارد که رأس‌های میانی از درجه دو می‌باشند.

**تعریف ۳.۱.۱.** قطر گراف عبارت است از بزرگترین فاصله‌ی بین رئوس در گراف.

**تعریف ۴.۱.۱.** فرض کنید  $A$  یک مجموعه  $q$  عضوی بصورت  $\{a_1, a_2, \dots, a_q\}$  باشد، در این صورت مجموعه  $A$  را الفبای کد<sup>۱</sup> می‌نامیم و هریک از عناصر مجموعه  $A$  را سمبل (نماد) کد<sup>۲</sup> می‌گوییم.

**تعریف ۵.۱.۱.** یک کلمه  $q$ -آرایه‌ای با طول  $n$  روی مجموعه  $A$  در حقیقت دنباله‌ای است به شکل  $w = w_1 w_2 \dots w_n$ . بطوری‌که برای هر  $1 \leq i \leq n$  داریم  $w_i \in A$ ، همچنین می‌توان هر کلمه  $q$ -آرایه‌ای را با طول  $n$  بصورت  $(w_1, \dots, w_n)$  نمایش داد.

**تعریف ۶.۱.۱.** کد بلوکی  $q$ -آرایه‌ای<sup>۳</sup> با طول  $n$  روی مجموعه  $A$ ، مجموعه‌ای ناتهی مانند  $C$  از کلمات  $q$ -آرایه‌ای می‌باشد که تمام کلمات دارای طول یکسان  $n$  می‌باشند و هر عنصر از مجموعه  $C$  را یک کدواژه<sup>۴</sup> می‌نامیم.

**تعریف ۷.۱.۱.** تعداد کدواژه‌های مجموعه  $C$  را اندازه کد می‌نامیم و با  $|C|$  نمایش می‌دهیم.

**تعریف ۸.۱.۱.** هر کد بلوکی از طول  $n$  و اندازه  $M$  را یک  $(n, M)$  - کد گویند.

<sup>۱</sup>Code alphabet

<sup>۲</sup>Code symbols

<sup>۳</sup>q-array block code

<sup>۴</sup>Code words

**تعریف ۹.۱.۱.** کانال ارتباطی<sup>۵</sup> بصورت کانالی تعریف می‌شود که متشکل از دو مجموعه می‌باشد که یکی از آنها مجموعه الفبای کد است و بصورت  $\mathcal{A} = F_q = \{a_1, \dots, a_q\}$  در نظر گرفته می‌شود و مجموعه دیگر مجموعه احتمال‌های کانال ارسال می‌باشد.

**تعریف ۱۰.۱.۱.** در یک کانال ارتباطی گذشته، فقط کدواژه‌ها ارسال می‌شوند. فرض کنید کلمه  $w$  دریافت شده است. اگر  $w$  یک کدواژه معتبر باشد می‌توان نتیجه گرفت که خطایی در انتقال وجود ندارد. از طرف دیگر، می‌دانیم چند خطا اتفاق افتاده است. در این مورد، به روشی برای پیدا کردن محتمل‌ترین کدواژه ارسال شده نیاز داریم. چنین روشی به روش کدگشایی معروف است.

**تعریف ۱۱.۱.۱.** اگر  $x$  و  $y$  دو  $n$ -تایی از  $\circ$  و  $1$  باشند، آنگاه فاصله همینگ<sup>۶</sup> آنها به صورت زیر تعریف می‌شود:

$$d_H(x, y) = |\{i; 1 \leq i \leq n, x_i \neq y_i\}|$$

**تعریف ۱۲.۱.۱.** مجموعه  $X$  که عناصرش نقاط می‌باشند، در صورتی یک فضای متریک است که برای هر دو نقطه  $p$  و  $q$  از  $X$ ، عدد حقیقی  $d(p, q)$ ، به نام فاصله از  $p$  تا  $q$ ، داشته باشیم:

$$1. \quad d(p, q) > 0 \text{ هرگاه } p \neq q \text{ و } d(p, p) = 0$$

$$2. \quad d(p, q) = d(q, p)$$

$$3. \quad \text{به ازای هر } r \in X, d(p, q) \leq d(p, r) + d(r, p)$$

**ملاحظه ۱.۱.۱.** می‌توان به راحتی بررسی کرد که تعریف فوق از فاصله همینگ، تمام ویژگی‌های یک متر را دارا می‌باشد. یعنی اگر  $a$  و  $b$  و  $c$  کدواژه‌هایی از طول  $n$  در یک کد بلوکی باشند، همواره داریم:

$$1. \quad 0 \leq d_H(a, b) \leq n$$

$$2. \quad a = b \Leftrightarrow \forall 1 \leq i \leq n, d_H(a, b) = 0$$

$$3. \quad d_H(a, b) = d_H(b, a)$$

$$4. \quad d_H(a, c) \leq d_H(a, b) + d_H(b, c)$$

**تعریف ۱۳.۱.۱.** علاوه بر طول و اندازه کد، ویژگی مهم و مفید دیگر فاصله کد است. برای کد  $\mathcal{C}$  که شامل حداقل دو کلمه می‌باشد، مینیمم فاصله  $\mathcal{C}$  بصورت زیر تعریف می‌شود و با  $d(\mathcal{C})$  نمایش می‌دهیم:

$$d(\mathcal{C}) = \min\{d_H(x, y); x, y \in \mathcal{C}, x \neq y\}$$

<sup>۵</sup>Communication channel

<sup>۶</sup>Hamming Distance

**تعریف ۱۴.۱.۱.** یک کد از طول  $n$ ، اندازه  $M$  و فاصله  $d$  را  $(n, M, d)$  - کد می‌نامیم. اعداد  $n$ ،  $M$  و  $d$  را پارامترهای کد می‌نامند.

**مثال ۱.۱.۱.** فرض کنید  $C = \{00000, 00111, 11111\}$ ، یک کد دودویی باشد، در این صورت  $d(C) = 2$ ، زیرا:

$$d_H(00000, 00111) = 3$$

$$d_H(00000, 11111) = 5$$

$$d_H(00111, 11111) = 2$$

از این رو  $C$  یک  $(5, 3, 2)$  - کد دودویی است.

**تعریف ۱۵.۱.۱.** کد خطی  $C$  از طول  $n$  روی  $F_q$  یک زیرفضا از  $F_q^n$  است.

**مثال ۲.۱.۱.** موارد زیر نمونه‌هایی از کدهای خطی می‌باشند:

۱.  $C = \{(\lambda, \lambda, \dots, \lambda); \lambda \in F_q\}$  که کد تکرار نامیده می‌شود.

۲.  $C = \{000, 001, 010, 011\}$ ،  $(q = 2)$ .

۳.  $C = \{0000, 1100, 2200, 0001, 0002, 1101, 1102, 2201, 2202\}$ ،  $(q = 3)$ .

**تعریف ۱۶.۱.۱.** فرض کنید  $x$  یک کلمه در  $F_q^n$  باشد. وزن همینگ  $wt(x)$ ، که با  $wt(x)$  نمایش داده می‌شود، تعداد مؤلفه‌های ناصفر  $x$  تعریف می‌شود؛ به عبارت دیگر:

$$wt(x) = d(x, 0)$$

که  $0$ ، کلمه صفر است.

**ملاحظه ۲.۱.۱.** برای هر عضو  $x \in F_q$  وزن همینگ را می‌توانیم بصورت زیر تعریف کنیم:

$$wt(x) = d(x, 0) = \begin{cases} 1 & x \neq 0 \\ 0 & x = 0 \end{cases}$$

در این صورت با نوشتن  $x \in F_q^n$  به شکل  $x = (x_1, x_2, \dots, x_n)$ ، وزن همینگ  $x$  می‌تواند بطور معادل بصورت زیر تعریف شود:

$$wt(x) = wt(x_1) + wt(x_2) + \dots + wt(x_n)$$

**ملاحظه ۳.۱.۱.** موارد زیر دلایلی هستند که چرا ممکن است استفاده از کدهای خطی نسبت به کدهای غیرخطی مورد ترجیح باشد:

<sup>Y</sup>Hamming Weight

۱. از آنجا که یک کد خطی یک فضای برداری است، می‌تواند با استفاده از یک پایه بطور کامل توصیف شود.

۲. فاصله یک کد خطی با کمترین وزن کدواژه‌های ناصفر آن برابر است.

۳. روش‌های کدگذاری و کدگشایی برای یک کد خطی نسبت به کدهای غیرخطی دلخواه، سریع‌تر و آسان‌تر است.

**تعریف ۱۷.۱.۱.** فرض کنید  $v$  عدد صحیح مثبتی باشد.  $C$  را کد  $v$ -تصحیح کننده خطا گوئیم اگر به تصحیح  $v$  یا تعدادی کمتر خطا قادر باشد.

### ۱.۱.۱ کدهای کامل

مجموعه  $\mathbb{Z}_+ = \{0, 1, 2, \dots\}$  مجموعه اعداد صحیح نامنفی تعریف می‌شود. فرض کنید  $(S, d)$  فضای متریک متناهی با متر صحیح  $d$  باشد و  $C \subseteq S$  کد تصحیح کننده خطا است.

**تعریف ۱۸.۱.۱.**  $C$  را کد  $e$ -کامل<sup>۸</sup> گوئیم ( $e \in \mathbb{Z}_+$ ) هرگاه گوی‌هایی با شعاع  $e$  و به مرکز کدواژه‌های متمایز، فضای کل را پوشش دهند:

$$B(x, e) \cap B(y, e) = \emptyset \quad \forall x, y \in C, \quad x \neq y, \quad (1.1)$$

$$\bigcup_{x \in C} B(x, e) = S, \quad (2.1)$$

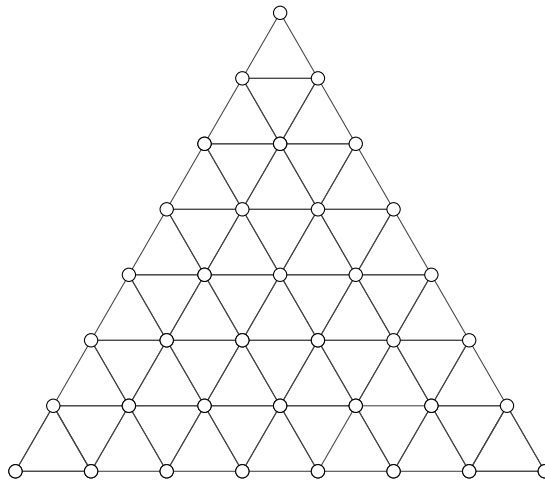
که  $B(x, e) = \{w \in S : d(x, w) \leq e\}$  فضای کدگشایی کدواژه  $x$  تعریف می‌شود. باتوجه به خاصیت ذکرشده، هر عضو از  $S$  با فاصله‌ی کمتر یا مساوی  $e$  از دقیقاً یک کدواژه قرار دارد. همچنین هر مجموعه تک عضوی  $C = \{x\}$ ،  $D$ -کامل است که  $D$  قطر فضای  $S$  است و همچنین  $S$  خودش  $0$ -کامل است، زیرا اگر  $C = S$  باشد آنگاه  $e = 0$  است. در این پایان‌نامه به بررسی نوعی کدخطی، یعنی کدهای کامل غیربدیهی که  $|C| \geq 2$  و  $e \geq 1$  است، خواهیم پرداخت.

### ۲.۱.۱ سادک گسسته

**تعریف ۱۹.۱.۱.** فضای مدنظر در این پایان‌نامه  $n$ -سادک گسسته<sup>۹</sup> است که بصورت زیر تعریف می‌شود و  $\ell$  طول سادک موردنظر می‌باشد:

$$\Delta_\ell^n := \{(x_0, \dots, x_n); \quad x_i \in \mathbb{Z}_+, \sum_{i=0}^n x_i = \ell\}. \quad (3.1)$$

شکل زیر نمونه‌ای از یک سادک گسسته از طول  $\ell$  می‌باشد.



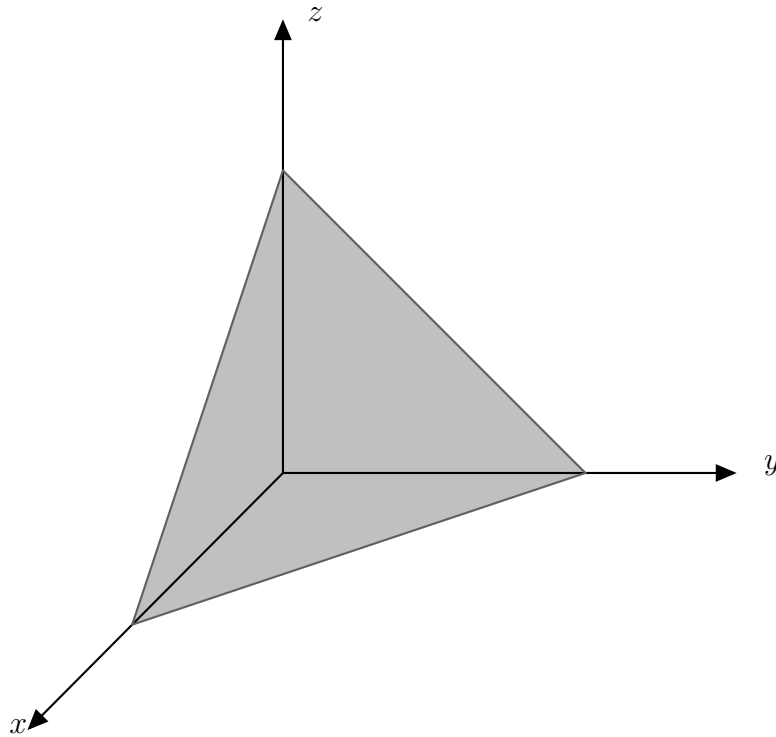
شکل ۱.۱: سادک گسسته از طول ۷

---

<sup>^</sup>Perfect code

<sup>^</sup>Discrete simplex

سادک گسسته در واقع صفحه‌ای در دستگاه مختصات سه‌بعدی می‌باشد که مختصات هر رأس روی سادک گسسته را می‌توان طبق مختصات نقاط روی صفحه نوشت.



شکل ۲.۱: صفحه سادک گسسته در دستگاه مختصات سه‌بعدی

در این پایان‌نامه از مترهای زیر استفاده می‌کنیم:

۱. متر منهتن<sup>۱</sup>، فاصله دو نقطه است که مجموع قدرمطلق تفاضل طول و عرض آن دو نقطه می‌باشد:

$$d_1(p, q) = \|p - q\|_1 = \sum_{i=1}^n |p_i - q_i|. \quad (۴.۱)$$

۲. متر  $d(x, y) = \frac{1}{2} \|x - y\|_1 = \frac{1}{2} \sum_{i=0}^n |x_i - y_i|$  جایی که  $x = (x_0, \dots, x_n)$  و  $y = (y_0, \dots, y_n)$  رئوس روی سادک گسسته می‌باشند که مجموع درآیه‌های هر رأس باید برابر با طول سادک گسسته موردنظر باشد. همچنین می‌توانیم به‌طور معادل متر  $d$  را بصورت زیر در نظر بگیریم:

$$d(x, y) = \sum_{x_i > y_i} (x_i - y_i) = \sum_{x_i < y_i} (y_i - x_i) \quad (۵.۱)$$

<sup>۱</sup>Manhattan metric

**تعریف ۲۰.۱.۱.** بردار  $f_{i,j}$  که  $i, j \in \{1, 2, \dots\}$  را به این صورت تعریف می‌کنیم که در  $i$ -امین جایگاه یک و در  $j$ -امین جایگاه  $-1$  قرار می‌دهیم همچنین مابقی جایگاه‌ها صفر می‌باشند. برای مثال  $f_{1,2} = (1, -1, 0, \dots)$ .

**تعریف ۲۱.۱.۱.**  $f_{k,l}$  و  $f_{i,j}$  را متعامد گوئیم اگر  $\{i, j\} \cap \{k, l\} = \emptyset$  باشد، یعنی هیچ درآیه غیرصفری در جایگاه یکسان از هر دو بردار وجود نداشته باشد.

**مثال ۳.۱.۱.** دو بردار  $f_{1,4} = (1, 0, 0, -1)$  و  $f_{2,1} = (-1, 1, 0, 0)$  متعامد نمی‌باشند، ولی بردارهای  $f_{1,3} = (1, 0, -1, 0)$  و  $f_{2,4} = (0, 1, 0, -1)$  متعامدند.

### ۳.۱.۱ کانال جایگشتی

**تعریف ۲۲.۱.۱.** فرض کنید  $A = \{0, 1, \dots, n\}$  الفبایی متناهی باشد، بطوری که  $n + 1 \geq 2$  نماد دارد. کانال جایگشتی<sup>۱۱</sup> روی  $A$ ، کانالی ارتباطی است که دنباله‌ای از نمادهای  $A$  را به عنوان ورودی می‌گیرد و به ازای هر ورودی یک جایگشت تصادفی از آن دنباله را خارج می‌کند.

### ۴.۱.۱ چندمجموعه‌ای‌ها

**تعریف ۲۳.۱.۱.** چندمجموعه‌ای<sup>۱۲</sup>  $X$ ، در واقع زوج مرتب  $(A, m_X)$  است که  $A$  مجموعه پایه<sup>۱۳</sup>، یعنی همان الفبای کانال در فضای مدنظر و همچنین  $m_X : A \rightarrow \mathbb{Z}_+$  تابع چندگانگی<sup>۱۴</sup> است که تعداد پیشامدهای عناصر  $A$  در  $X$  را نشان می‌دهد.

اعمال روی چندمجموعه‌ای‌ها بصورت زیر تعریف می‌شود:

$$m_{X \cup Y} = \max\{m_X, m_Y\}$$

$$m_{X \cap Y} = \min\{m_X, m_Y\}$$

$$m_{X \setminus Y} = \max\{0, m_X - m_Y\}$$

درحالی که اندازه چندمجموعه‌ای برابر است با :

$$|X| = \sum_x m_X(x).$$

<sup>۱۱</sup>Permutation channel

<sup>۱۲</sup>Multi-set

<sup>۱۳</sup>Ground set

<sup>۱۴</sup>Multiplicity function



تعداد اعضای  $X$ ، تعداد عناصری است که شامل آن می‌باشد و شامل تکرارها نیز است. در حقیقت یعنی  $|X| = \sum_{i=0}^n x_i = \ell$ . چندمجموعه‌ای‌ها می‌توانند توسط توابع چندگانگی‌شان تعریف شوند. مجموعه همه چندمجموعه‌ای‌ها با اندازه  $\ell$  را بصورت زیر نشان می‌دهیم:

$$\{(x_0, x_1, \dots, x_n) \in \mathbb{Z}_+^{n+1}; \sum_{i=0}^n x_i = \ell\},$$

که دقیقاً سادک گسسته  $\Delta_\ell^n$  است.

فرض کنید  $A$  الفبای کانال و  $P(A)$  مجموعه توانی  $A$ ؛ یعنی مجموعه تمام زیرمجموعه‌های  $A$  باشد و  $P(A, \ell)$  مجموعه همه زیرمجموعه‌های  $A$  با اندازه  $\ell$  است.

**تعریف ۲۴.۱.۱.** کد زیرمجموعه<sup>۱۵</sup> روی  $A$  یک زیرمجموعه ناتهی از  $P(A)$  است. اگر داشته باشیم  $C \subseteq P(A, \ell)$ ، گوئیم  $C$  کد اندازه-ثابت<sup>۱۶</sup> است.

**تعریف ۲۵.۱.۱.** تابع مشخصه<sup>۱۷</sup> مجموعه  $X \subseteq A$  نگاشت  $I_X(x) : A \rightarrow \{0, 1\}$  است که بصورت زیر تعریف می‌شود:

$$I_X(x) = \begin{cases} 1, & x \in X \\ 0, & x \notin X \end{cases} \quad (۶.۱)$$

مجموعه متناهی  $A$  را در نظر بگیرید. زیرمجموعه‌هایی از  $A$  که یکتا هستند، به‌وسیله توابع مشخصه تعیین می‌شوند.

اگر  $A = \{1, \dots, q\}$  باشد، آنگاه این توابع می‌توانند به‌وسیله دنباله‌های دودویی از طول  $q$  مشخص شوند، یعنی دنباله‌های  $(I_X(1), \dots, I_X(q))$ . همه‌ی اعمال روی مجموعه (اجتماع، اشتراک، تفاضل و...) می‌توانند روی  $P(A)$  در رابطه با توابع مشخصه متناظرش تعریف شوند. برای مثال:

$$I_{X \Delta Y} = I_X \oplus I_Y = |I_X - I_Y|, \quad (۷.۱)$$

جایی که  $\oplus$  عمل جمع به پیمانانه دو تعریف می‌شود. بنابراین اندازه مجموعه  $X$  بصورت زیر بیان می‌شود:

$$|X| = \sum_x I_X(x), \quad (۸.۱)$$

که همان وزن همینگ دنباله دودویی  $(I_X(1), \dots, I_X(q))$  است. از روابط بالا می‌توانیم بگوئیم:

$$d(X, Y) = |X \Delta Y| = \sum_x |I_X(x) - I_Y(x)|. \quad (۹.۱)$$

<sup>۱۵</sup>Subset code

<sup>۱۶</sup>Constant-cardinality

<sup>۱۷</sup>Characteristic function

یعنی فاصله بین مجموعه‌های  $X$  و  $Y$  برابر فاصله همینگ بین دنباله‌های دودویی مربوط به  $I_X$  و  $I_Y$  است.

فرض کنید  $M(A)$  مجموعه همه چندمجموعه‌های  $A$  روی  $A$  تعریف شود و  $M(A, \ell)$  مجموعه همه چندمجموعه‌های  $A$  از طول  $\ell$  باشد، بطوری که  $|A| = \ell$ . اعمال روی  $M(A)$  مانند اجتماع، اشتراک، تفاضل و ... مشابه اعمال روی مجموعه‌ها است. مثال ساده‌ای را در ادامه بیان می‌کنیم:

**مثال ۴.۱.۱.** فرض کنید  $X = \{1, 2, 2, 2, 3\}$  و  $Y = \{1, 2, 2, 3, 3, 4\}$  دو چندمجموعه‌ای روی  $A = \{1, 2, 3, 4\}$  باشد، آنگاه:

$$X \cap Y = \{1, 2, 2, 3\}$$

$$X \cup Y = \{1, 2, 2, 2, 3, 3, 4\}$$

$$X \setminus Y = \{2\}$$

$$Y \setminus X = \{3, 4\}$$

و اندازه  $X$  و  $Y$  برابر ۵ و ۶ می‌باشد.

کدهای روی  $A$  مشابه کدهای روی  $P$  هستند.

**تعریف ۲۶.۱.۱.** کد چندمجموعه‌ای  $A$  روی  $A$  زیرمجموعه‌ای ناتهی از  $A$  است که اگر  $C \subseteq A$  گوئیم  $M(A, \ell)$  کد اندازه- ثابت است.

توجه داشته باشید که  $A$  یک فضای نامتناهی می‌باشد. کدهای چندمجموعه‌ای هرچند که به صراحت بیان نشده، ولی همیشه متناهی در نظر گرفته شده‌است. اگر الفبا برابر  $A = \{0, 1, \dots, q\}$  باشد، توابع چندگانه چندمجموعه‌ای  $X$  منحصر بفرد و به وسیله دنباله  $(m_X(1), \dots, m_X(q)) \in \mathbb{N}^q$  تعیین می‌شود. از این رو فضای  $M(A)$  معادل فضای  $\mathbb{N}^q$  می‌باشد. بنابراین فاصله بین چندمجموعه‌ای‌ها برابر فاصله  $\ell_1$  (متر منهتن) بین دنباله‌های مربوطه است.

$$d(X, Y) = |X \Delta Y| = \sum_x |m_X(x) - m_Y(x)|.$$

بنابراین کدهای چندمجموعه‌ای فقط تعریف دیگری از کدها در  $\mathbb{N}^q$  تحت متر منهتن هستند. کدهای اندازه- ثابت با کدهای روی فضای  $\Delta_\ell^{q-1}$  معادل‌اند.

$$\Delta_\ell^{q-1} := \{(x_1, \dots, x_q); x_i \in \mathbb{N}, \sum_i x_i = \ell \in \mathbb{N}\},$$

که به عنوان سادک گسسته‌ی  $q-1$  تایی در نظر گرفته می‌شود.

**تعریف ۲۷.۱.۱.** مجموعه  $\mathcal{L}$  را که تحت افزایش و کاهش بسته باشد، مشبکه<sup>۱۸</sup> گوییم.

**تعریف ۲۸.۱.۱.** مشبکه‌های  $A_n$  و  $\mathbb{Z}^n$  بصورت زیر تعریف می‌شود:

$$\mathbb{Z}^n = \mathbb{Z} \times \mathbb{Z} \times \cdots \times \mathbb{Z},$$

$$A_n = \{(x_0, x_1, \dots, x_n) : x_i \in \mathbb{Z}_+, \sum_{i=0}^n x_i = 0\}.$$

**تعریف ۲۹.۱.۱.** گوییم کد چندمجموعه‌ای  $\mathcal{C} \subseteq \Delta_n^{q-1}$ ، خطی است اگر  $\mathcal{C} = (\mathcal{L} + t) \cap \Delta_n^m$  باشد، برای مشبکه‌هایی که  $\mathcal{L} \subseteq A_{q-1}$  و بردارهای  $t \in \mathbb{Z}^q$  بطوری که  $\sum_{i=1}^q t_i = n$ . به عبارت دیگر  $\mathcal{C}$  خطی می‌باشد اگر به وسیله انتقال یک کد خطی در  $A_{q-1}$  بدست آمده باشد و فقط مختصات نامنفی داشته باشد.

**تعریف ۳۰.۱.۱.** فرض کنیم  $S$  و  $T$  زیرمجموعه‌های ناتهی و متناهی از مشبکه  $\mathbb{Z}^n$  باشند.  $S$  مجموعه‌ای است که می‌خواهیم با آن فضای کل را بیوشانیم و  $T$  مجموعه همه بردارهای انتقال می‌باشد. گوییم  $(S, T)$  یک بسته‌بندی<sup>۱۹</sup> در  $\mathbb{Z}^n$  است اگر انتقال‌های  $S$  به‌وسیله بردارهای  $T$  مجزا باشند، یعنی:

$$(X + S) \cap (Y + S) = \emptyset \quad \forall X, Y \in T, X \neq Y$$

جایی که  $X + S = \{X + s; s \in S\}$  می‌باشد.

**تعریف ۳۱.۱.۱.** می‌خواهیم مجموعه  $T$  که بردارهای آن مجزا هستند و تمام مشبکه  $\mathbb{Z}^n$  را فرش<sup>۲۰</sup> می‌کند پیدا کنیم، یعنی:

$$(X + S) \cap (Y + S) = \emptyset \quad \forall X, Y \in T, X \neq Y$$

و

$$\bigcup_{X \in T} (X + S) = \mathbb{Z}^n.$$

درواقع فرش کردن، متراکم‌ترین بسته‌بندی ممکن است.

**تعریف ۳۲.۱.۱.** اگر  $(S, \mathcal{L})$  یک بسته‌بندی مشبکه‌ای باشند، آنگاه گوییم  $\mathcal{L}$  یک کد خطی است. اگر  $(S, \mathcal{L})$  فرش کردن باشد، گوییم  $T$  کد کامل است.

<sup>۱۸</sup>Lattice

<sup>۱۹</sup>Packing

<sup>۲۰</sup>Tiling



## فصل ۲

# کدهای کامل در سادک‌های گسسته

مطالعه کدهای کامل ریشه قدیمی دارد و شاید یکی از جالب‌ترین موضوعات در نظریه کدگذاری باشد. بهترین موضوع مطالعه شده کدهای دقیق در فضای متریک همینگ<sup>۱</sup> می‌باشد [۶، ۱۱، ۱۷، ۳۰، ۳۶، ۳۹]، در حالی که در تاریخ، اولین کدهایی هستند که تعریف شده‌اند و بسیاری از آنها عملاً استفاده شده‌اند. مثال‌های گوناگون جالبی در مجلات وجود دارد، نمونه‌هایی مثل کدهای کامل تحت متر لی<sup>۲</sup> [۲، ۳، ۱۵، ۲۱، ۲۳، ۲۴، ۳۴]، متر لیوشتین<sup>۳</sup> [۹، ۲۹]، کدها در فضای تصویری [۱۸]، گراسمانیان<sup>۴</sup> [۱۰، ۳۱] و غیره. نظریه دیلزارت<sup>۵</sup> [۱۸] روی عدم وجود کدهای ثابت وزن<sup>۶</sup> کامل تحت متر جانسون<sup>۷</sup> نیز مورد توجه تعدادی از محققان قرار گرفته است و هنوز حل نشده باقی مانده‌اند [۱۳، ۱۴، ۱۶، ۲۲، ۳۳، ۳۴]. خیلی از این مسائل را می‌توان به‌عنوان مثال‌های خاص از نظریه اساسی کدهای کامل در فاصله‌ی متغیر گرافها در نظر گرفت [۷].

در این فصل کدهای کامل را روی سادک‌های گسسته تحت متر  $d$  بررسی می‌کنیم و می‌بینیم که این کدها در الفباهای متفاوت در این فضا وجود دارند یا خیر [۲۸]. در واقع

---

<sup>۱</sup>hamming codes

<sup>۲</sup>Lee metric

<sup>۳</sup>Levenshtein

<sup>۴</sup>Grassmanian

<sup>۵</sup>Delsarte

<sup>۶</sup>Constant weight

<sup>۷</sup>Johnson metric

هدف اصلی در این فصل، بررسی قضیه زیر می‌باشد:

**قضیه ۱.۰.۲.** فرض کنید  $e \geq 1$ :

۱. کد  $-e$  کامل غیربديهی در  $(\Delta_\ell^1, d)$  برای هر  $\ell \geq 2e+1$  وجود دارد. هر کد،  $\lceil \frac{\ell+1}{2e+1} \rceil$  کدواژه دارد.

۲. کد  $-e$  کامل غیربديهی در  $(\Delta_\ell^2, d)$  وجود دارد اگر و تنها اگر  $\ell = 3e+1$  باشد. علاوه بر این، دقیقاً دو کد در  $\Delta_{e+1}^2$  وجود دارد، که هر کدام از اندازه سه می‌باشند.

۳. هیچ کد  $-e$  کامل غیربديهی در  $(\Delta_\ell^n, d)$ ،  $n \geq 3$ ؛ برای هر  $n$  و  $\ell$  وجود ندارد.

حال به بررسی و اثبات موارد بالا می‌پردازیم. برای این منظور از نمایش سادک  $\Delta_\ell^n$  برای فضای متریک  $(\Delta_\ell^n, d)$  به شکل گرافی با  $\binom{n+\ell}{\ell}$  رأس که یالهای آن رئوس به فاصله یک از هم را متصل می‌کنند، استفاده می‌کنیم. همانطور که در بخش ۲.۱.۱ توجه کردید چنین نمایشی به ما اجازه می‌دهد که بتوانیم حداقل الفبای دودویی و سه‌تایی را در فضای مدنظرمان به تصویر بکشیم.

## ۱.۲ الفبای دودویی

حالت یک بعدی ( $n = 1$ ) را در نظر می‌گیریم. فضای:

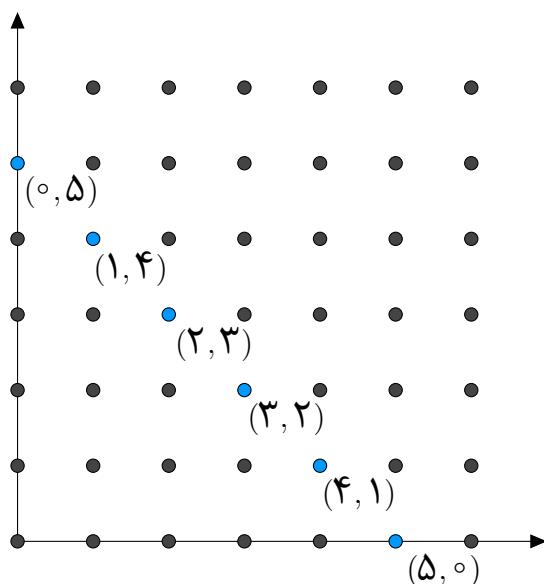
$$\Delta_\ell^1 = \{(\ell - t, t) : t = 0, \dots, \ell\}, \quad (1.2)$$

را می‌توان بصورت مسیری با  $|\Delta_\ell^1| = \ell + 1$  رأس نشان داد، برای مثال سمت چپ‌ترین رأس  $(\ell, 0)$  و سمت راست‌ترین آن  $(0, \ell)$  است، به شکل ۱.۲ توجه کنید.



شکل ۱.۲: کد ۱ - کامل در  $\Delta_\ell^1$

همانطور که در شکل زیر پیداست ایده‌ی سادک گسسته از بعد یک، از محور زیر گرفته شده‌است. سادک گسسته از بعد یک و طول  $\ell$  از سمت چپ  $(0, \ell)$  شروع می‌شود و به  $(\ell, 0)$  ختم می‌شود.



شکل ۲.۲: نمایش  $\Delta_\ell^1$  در دستگاه مختصات

در حالت دودویی، گراف مسیر داریم و همچنین فاصله‌ی بین اولین و آخرین رأس  $l$  می‌باشد در نتیجه قطر  $\Delta_l$  برابر  $l$  است و هر کدواژه از کد  $e$  - کامل باید در فاصله‌ی بزرگتر یا مساوی  $2e+1$  از یکدیگر قرار داشته باشد، در غیر اینصورت دو گوی در نقطه‌ای اشتراک پیدا می‌کنند که متناقض با تعریف است. به راحتی می‌توان نتیجه گرفت که برای هر مقدار  $l$ ، کد کامل وجود دارد. شکل ۱.۲ تصویری از یک کد کامل را نمایش می‌دهد و قضیه ۱.۱.۲ تمام کدهای کامل در  $\Delta_l$  را بیان کرده است.

**قضیه ۱.۱.۲.** فرض کنید  $l = q(2e+1) + r$  باشد که برای مقادیر  $q \geq 1$  و  $0 \leq r < 2e+1$  برقرار است، آنگاه دقیقاً  $M = \min\{r+1, 2e+1-r\} > 0$  کد کامل در  $\Delta_l$  وجود دارد که هر کدام  $q+1 = \lceil \frac{l+1}{2e+1} \rceil$  کدواژه دارند. همچنین فرض کنید  $s = \min\{r, e\}$ ، آنگاه همه‌ی کدهای کامل در  $\Delta_l$  را می‌توان به فرم زیر نوشت:

$$\mathcal{C}_1^{(m)} = \{(\ell - s + m - 1 - i(2e+1), s - m + 1 + i(2e+1)) : i = 0, \dots, q\} \quad (2.2)$$

$$\forall m = 1, \dots, M.$$

برهان. قضیه را برای مقادیر ثابت  $j$  و برای  $i$  از صفر تا مقادیری بزرگ اثبات می‌کنیم. ابتدا چپ‌ترین کدواژه را  $(l-j, j)$  فرض می‌کنیم. باتوجه به اینکه کدواژه‌های همسایه باید در فاصله‌ی  $2e+1$  از یکدیگر باشند، کدواژه‌های دیگر را مشخص می‌کنیم. به عبارت دیگر می‌خواهیم مطمئن شویم که نواحی کدگشایی مجزا از هم هستند و تمام رئوس میانی پوشش داده می‌شوند. بنابراین برای اثبات کامل بودن  $\mathcal{C}_1^{(m)}$ ، باید ثابت کنیم سراسر  $\Delta_l$  پوشیده شده است. کفایت نشان دهیم نقاط پایانی  $(\ell, 0)$  و  $(0, \ell)$  پوشیده شده‌اند. فرض کنید  $r \leq e$  باشد، در این حالت  $s = r$  و همچنین داریم:

$$M = \min\{r+1, 2e+1-r\} = r+1$$

چون  $s = r$  است، در نتیجه ادعا می‌کنیم  $0 \leq s-m+1 \leq r \leq e$ ، آنگاه داریم  $s-m+1 = r-m+1$  در صورتیکه  $m$  در ماکسیمم مقدارش باشد. یعنی  $m = M$ ، آنگاه  $s-m+1 = 0$  است و در حالتی که  $m$  در مینیمم مقدارش باشد. یعنی  $m = 1$ ، داریم  $s-m+1 = r$ . از این رو رأس  $(\ell, 0)$  در فاصله‌ی کمتر یا مساوی  $e$  از کدواژه  $(\ell-s+m-1, s-m+1)$  قرار دارد. همچنین ادعا می‌کنیم  $0 \leq r-s+m-1 \leq r \leq e$  است. چون اگر  $m$  در مینیمم مقدارش باشد؛ یعنی،  $m = 1$ ، آنگاه داریم  $r-s+1-1 = 0$ . اگر  $m$  در ماکسیمم مقدارش باشد، یعنی  $m = M$ ؛ آنگاه:

$$r-s+m-1 = r+1-1 = r \leq r \leq e$$

از این رو رأس  $(\ell, 0)$  در فاصله‌ی کمتر یا مساوی  $e$  از کدواژه  $(\ell-s+m-1, \ell-r+s-m+1)$  قرار دارد. تحلیل مشابهی برای  $r > e$  بکار می‌رود. فرض کنید  $r > e$  باشد، لذا خواهیم داشت  $M = 2e+1-r$  و  $s = e$ . در این صورت ادعا می‌کنیم  $0 \leq s-m+1 \leq e < r$  که رأس  $(\ell, 0)$



در فاصله‌ی کمتر یا مساوی  $e$  از کدواژه  $(\ell - s + m - 1, s - m + 1)$  قرار می‌گیرد. زیرا اگر  $m$  در حالت مینیمم مقدارش، یعنی  $m = 1$  باشد، داریم:

$$s - m + 1 = e - 1 + 1 = e \leq e,$$

و اگر در حالت ماکسیمم مقدارش، یعنی  $m = 2e + 1 - r$  باشد، آنگاه:

$$0 \leq s - m + 1 = e - 2e - 1 + r + 1 = r - e \leq e,$$

از آنجایی که طبق فرض قضیه داریم  $0 \leq r < 2e + 1$ ، لذا ماکسیمم مقدار  $r$  برابر  $2e$  می‌باشد و چون  $r > e$ ، لذا  $r - e > 0$  در نتیجه ماکسیمم مقدار  $r - e$  برابر  $2e - e = e$  می‌باشد، بنابراین:

$$r - e \leq e < r,$$

بطور مشابه ادعا می‌کنیم  $0 \leq r - s + m - 1 \leq e < r$  است. چون برای حالت مینیمم مقدار  $m$  داریم:

$$r - s + m - 1 = r - e + 1 - 1 = r - e \leq e < r,$$

و همچنین برای حالت ماکسیمم مقدارش داریم:

$$r - s + m - 1 = r - e + 2e + 1 - r - 1 = e \leq e < r.$$

در نتیجه فاصله‌ی رأس  $(\circ, \ell)$  از کدواژه  $(r - s + m - 1, \ell - r + s - m + 1)$  کمتر یا مساوی  $e$  می‌باشد.

حال کافی است نشان دهیم که تمام کدهای کامل در  $\Delta_\ell^1$  به فرم (۲.۲) می‌باشند. برای این منظور، فرض کنید  $r \leq e$  باشد، در این حالت چپ‌ترین کدواژه از  $\mathcal{C}_1^{(m)}$ ، برابر  $(\ell - r + m - 1, r)$  است که  $m = 1, \dots, r + 1$ . بنابراین  $r + 1$  کد با چپ‌ترین کدواژه‌های  $(\ell - r, r), \dots, (\ell, \circ)$  پیدا می‌کنیم. فرض کنید می‌خواهیم کد کامل دیگری به وسیله  $(\ell - r - k, r + k)$ ، که  $k \geq 0$  است، بسازیم. در این صورت این چپ‌ترین کدواژه است. از آنجایی که نقطه پایانی  $(\ell, \circ)$  پوشیده شده است، پس برای اینکه فاصله  $(\ell, \circ)$  از  $(\ell - r - k, r + k)$  کمتر از  $e$  باشد داریم  $k \leq e - r$ . از این رو می‌توان نتیجه گرفت  $k \leq e$  می‌باشد. راست‌ترین کدواژه با جابجایی  $i(2e + 1)$  بدست می‌آید و برابر با  $(2e + 1 - k, \ell - 2e - 1 + k)$  یا  $(-k, \ell + k)$  است. دومین حالت مختصات منفی دارد. در نتیجه غیرممکن است و اولین حالت، کد کامل نمی‌دهد چون نقطه  $(\circ, \ell)$  در ناحیه کدگشایی چنین کدواژه‌ای نیست، زیرا فاصله از راست‌ترین کدواژه  $2e + 1 - k > e$  می‌باشد. حال برای حالت  $r > e$  هم بطور مشابه اثبات می‌شود. فرض کنید  $r > e$  باشد، آنگاه داریم  $m = 1, \dots, 2e + 1 - r$ . چپ‌ترین کدواژه از  $\mathcal{C}_1^{(m)}$  برابر  $(\ell - r - m + 2e + 1, r + m - 2e - 1)$  است. بنابراین  $2e + 1 - r$  تا کد با چپ‌ترین کدواژه‌های  $(\ell - 2e + r, 2e - r), \dots, (\ell, \circ)$  پیدا می‌کنیم. فرض کنید می‌خواهیم کد کامل دیگری به وسیله رأس  $(\ell - 2e + r - k, 2e - r + k)$  که  $k \geq 0$  است، بسازیم؛ در این صورت این چپ‌ترین کدواژه می‌باشد. از آنجایی که  $(\ell, \circ)$  پوشیده

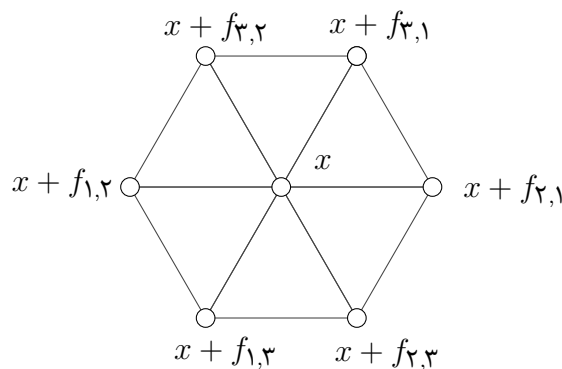
شده است پس فاصله‌ی  $(l, \circ)$  و  $(l - 2e + r - k, 2e - r + k)$  باید کمتر از  $e$  باشد، در نتیجه  $k \leq r - e$  است، پس  $k \leq r$ . راست‌ترین کدواژه با جابجایی  $i(2e + 1)$  بدست می‌آید و برابر با  $(-k, l + k)$  یا  $(-1 - k, l + k + 1)$  می‌باشد که در هر دو صورت مختصات منفی بدست آمده که ممکن نیست این کدواژه وجود داشته باشد.

□

## ۲.۲ الفبای سه‌تایی

حال سادک  $\Delta_\ell^2$  یعنی فضای دو بعدی را بررسی می‌کنیم. گراف متناظر با این فضا، گرافی مشبک و مثلثی می‌باشد که در شکل ۳.۲ نشان داده شده‌است. فرض کنید  $(l, \circ, \circ)$  چپ‌ترین رأس و  $(\circ, l, \circ)$  راست‌ترین رأس و  $(\circ, \circ, l)$  رأس بالایی باشد. گوی‌های تحت متر  $d$  در این گراف شش ضلعی هستند. درحقیقت این فضا مثلثی بریده شده از شبکه شش ضلعی به نظر می‌رسد.

حال  $x \in \Delta_\ell^2$  را در نظر بگیرید. هر رأس  $y \in \Delta_\ell^2$  در یک مسیر از  $x$  به  $y$  در گراف متناظر قرار دارد. اولین رأس از این مسیر را  $x'$  می‌نامیم که مجاور  $x$  است و دومین رأس، مجاور  $x'$  است و ... . نقاط مجاور  $x = (x_\circ, x_1, x_2)$  یعنی نقاطی که در فاصله‌ی یک از آن قرار دارند. ربه‌ترین روش برای تعریف نقاط مجاور و مسیرها در  $\Delta_\ell^2$  استفاده از بردار است. از تعریف بردارها نتیجه می‌گیریم که  $f_{i,j} = -f_{j,i}$  است و به عنوان قرارداد داریم  $f_{i,i} = (\circ, \circ, \circ)$ .



شکل ۳.۲: همسایه‌های  $x$  در  $\Delta_\ell^2$

این بردارها تمام جهت‌های ممکن از هر رأس را تعریف می‌کنند و در نتیجه هر همسایه  $x'$  از  $x$  به وسیله بردار تعریف می‌شود. یعنی  $x' = x + f_{i,j}$ . بنابراین برای هر  $y \in \Delta_\ell^2$  و  $\alpha_{i,j} \geq \circ$  رابطه زیر برقرار است:

$$y = x + \sum_{i,j} \alpha_{i,j} f_{i,j}.$$

اگر  $d(x, y) = \delta$  باشد و چون  $\frac{1}{\delta} \sum_{i,j} |f_{i,j}| = 1$  است، آنگاه داریم  $\sum_{i,j} \alpha_{i,j} = \delta$  در حقیقت می‌توانیم بنویسیم:

$$y = x + (s_\circ, s_1, s_2).$$

درآیه‌های  $f_{i,j}$  از ۱ و -۱ و صفر تشکیل شده است. در نتیجه مجموع درآیه‌های آن همیشه برابر صفر خواهد بود، یعنی داریم  $\sum_i s_i = 0$ . همچنین:

$$y - x = (s_0, s_1, s_2),$$

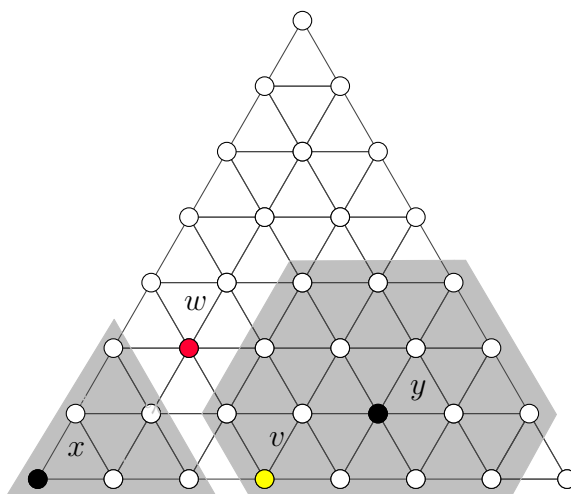
در نتیجه:

$$2d(x, y) = \sum_i |s_i|,$$

از طرفی از قبل داشتیم:

$$d(x, y) = \delta = \frac{1}{2} \sum |s_i|,$$

بنابراین  $\sum_i |s_i| = 2\delta$  می‌باشد. لم زیر در اثبات قضایای بعدی استفاده خواهد شد.



شکل ۴.۲: تصویر لم ۱.۲.۲

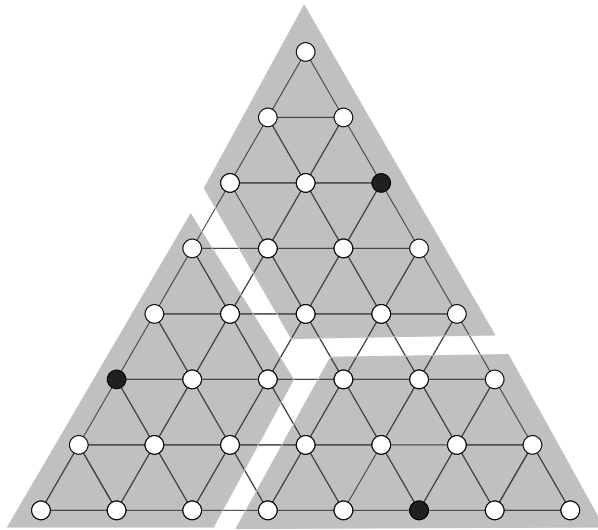
**لم ۱.۲.۲.** فرض کنید  $x, y, z \in \Delta_\ell^2$  باشد، بطوری که داشته باشیم  $d(x, w) = d(y, w) = e + 1$  و  $d(y, w + f_{1,1}) = e$  و  $d(x, w + f_{1,2}) = e$  و  $w \in B(z, e)$  که نمی‌توان یافت که  $z \in \Delta_\ell^2$  و  $B(x, e) \cap B(z, e) = \emptyset$  و  $B(y, e) \cap B(z, e) = \emptyset$  برقرار باشد.

حال مفهوم این لم را شرح می‌دهیم. فرض کنید دو کدواژه‌ی  $x$  و  $y$  و یک رأس  $w$  که خارج از فضای کدگشایی آنها قرار دارد، داشته باشیم. می‌خواهیم کد کاملی بسازیم که  $w$  در فضای کدگشایی سومین کدواژه یعنی  $z$  باشد. این لم ادعا می‌کند که اگر  $w$  توسط  $B(x, e)$  و  $B(y, e)$  در بعضی جهت‌ها محدود شده باشد، در این صورت چنین کدواژه‌ای وجود ندارد، در نتیجه  $x$  و  $y$  نمی‌توانند کدواژه‌های کد کامل باشند.

حال به ادعای اصلی یعنی وجود یا عدم وجود کدهای کامل می‌پردازیم. اگر  $\ell = 3e + 1$  باشد، آنگاه ارائه یک کد کامل کار چندان سختی نیست (مانند شکل ۵.۲). در حقیقت دقیقاً دو کد کامل در این فضا وجود دارد که عبارت است از:

$$\mathcal{C}_3^{(1)} = \{(2e+1, e, \circ), (\circ, 2e+1, e), (e, \circ, 2e+1)\},$$

$$\mathcal{C}_3^{(2)} = \{(2e+1, \circ, e), (e, 2e+1, \circ), (\circ, e, 2e+1)\}.$$



شکل ۵.۲: کد ۲- کامل در  $\Delta_3^2$

**قضیه ۱.۲.۲.** کدهای  $\mathcal{C}_3^{(1)}$  و  $\mathcal{C}_3^{(2)}$  در  $\Delta_{3e+1}^2$  کد  $e$ - کامل هستند.

برهان. ابتدا ثابت می‌کنیم  $\mathcal{C}_3^{(1)}$  کامل است. با توجه به تعریف کد کامل و خواص آن باید ثابت کنیم که هر دو کدواژه‌ی دلخواهی که از  $\mathcal{C}_3^{(1)}$  در نظر بگیریم دارای فاصله‌ی  $2e+1$  هستند و همچنین باید مجموع درآیه‌های هر کدواژه برابر با  $\ell$  باشد. فرض کنید کدواژه‌ها بصورت زیر نامگذاری شوند:

$$\mathcal{C}_3^{(1)} = \{a = (2e+1, e, \circ), \quad b = (\circ, 2e+1, e), \quad c = (e, \circ, 2e+1)\}$$

حال باتوجه به تعریف متری که تعریف شده فاصله‌ی بین کدواژه بصورت زیر بدست می‌آید:

$$d(a, b) = 2e + 1$$

$$d(b, c) = 2e + 1$$

$$d(a, c) = 2e + 1$$

همچنین مجموع درآیه‌های کدواژه‌های  $a$  و  $b$  برابر با  $3e + 1$  می‌باشد که همان  $\ell$  است. برای اثبات کامل بودن  $\mathcal{C}_\varphi^{(2)}$  همین روند را تکرار می‌کنیم و خواهیم داشت:

$$\mathcal{C}_\varphi^{(2)} = \{a' = (2e + 1, \circ, e), \quad b' = (e, 2e + 1, \circ), \quad c' = (\circ, e, 2e + 1)\}$$

آنگاه:

$$d(a', b') = 2e + 1$$

$$d(b', c') = 2e + 1$$

$$d(a', c') = 2e + 1$$

همچنین مجموع درآیه‌های کدواژه‌های  $a'$  و  $b'$  و  $c'$  برابر با  $3e + 1$  می‌باشد، که همان  $\ell$  است. در نتیجه حکم ثابت شد.

□

در بخش بعدی حالت جامع‌تری از قضیه ۱.۲.۲ را اثبات می‌کنیم. یعنی وقتی  $\ell = 3e + 1$  باشد، فقط دو کد کامل وجود دارد و اگر  $\ell \neq 3e + 1$  باشد، هیچ کد کاملی وجود ندارد. رأس  $(\ell, \circ, \circ)$  را در نظر بگیرید. برای اینکه این رأس پوشیده شود باید کدواژه‌ای به فرم زیر وجود داشته باشد:

$$x = (\ell - t, x_1, x_2), \quad (3.2)$$

که  $x_1 + x_2 = t \geq e$  است. فرض کنید رأس زیر را داشته باشیم:

$$v = (\ell - x_1 - e - 1, x_1 + e + 1), \quad (4.2)$$

در نتیجه داریم:

$$d(x, v) = \frac{1}{\varphi} (e + 1 - x_2 + e + 1 + x_2) = e + 1 \neq e.$$

پس  $v$  توسط گوی  $B(x, e)$  پوشیده نمی‌شود. برای اینکه  $v$  پوشیده شود به کدواژه دیگری مانند  $y$  نیاز است که داشته باشیم  $d(v, y) = e$  و  $d(x, y) = 2e + 1$ .

لم ۲.۲.۲. فرض کنید  $x, v \in \Delta_\ell^2$  به ترتیب از (۳.۲) و (۴.۲) داده شده است. در این صورت رأس  $y \in \Delta_\ell^2$  وجود دارد بطوری که  $d(v, y) = e$  و  $d(x, y) = 2e + 1$ . در این صورت  $y$  به فرم زیر است:

$$y = (\ell - x_1 - 2e - 1, x_1 + e + 1 + u, e - u), \quad (5.2)$$

جایی که  $0 \leq u \leq e$ . با این خاصیت که:

$$x_2 > \circ \Rightarrow u = e. \quad (6.2)$$

برهان. فرض کنید برای هر  $s \in \mathbb{Z}$  داشته باشیم  $y = (\ell - x_1 - 2e - 1 + s, y_1, y_2)$ . اگر  $s < 0$  باشد، آنگاه:

$$d(v, y) \geq v_0 - y_0 = e - s > e$$

که تناقض با فرض قضیه است. در نتیجه  $s > 0$  می‌باشد. حال فرض کنید  $x_0 \leq y_0$  باشد، آنگاه:

$$d(x, (\ell, 0, 0)) \leq e$$

و

$$d(y, (\ell, 0, 0)) \leq e$$

در اینصورت رأس  $(\ell, 0, 0)$  هم توسط  $x$  و هم توسط  $y$  پوشیده می‌شود، در نتیجه داریم  $x_0 > y_0$ . حال فرض می‌کنیم  $s \leq x_1$  باشد، چون در غیر اینصورت خواهیم داشت:

$$x_0 - y_0 \leq 2e - t.$$

همچنین مجموع مابقی  $x_i$ ها برابر  $t$  می‌باشد. از آنجایی که  $x$  و  $y$  هردو کدواژه‌اند پس باید فاصله‌ی بین آنها  $2e + 1$  باشد، در حالی که به تناقض رسیدیم.

$$\begin{aligned} d(x, y) &= \sum_{x_i > y_i} (x_i - y_i) = x_0 - y_0 + \sum_{i > 0, x_i > y_i} (x_i - y_i) \\ &\leq x_0 - y_0 + \sum_{i > 0} x_i \leq 2e. \end{aligned} \quad (7.2)$$

در نتیجه فرض می‌کنیم  $s > x_1$  باشد:

$$\begin{aligned} x_0 - y_0 &= \ell - t - (\ell - x_1 - 2e - 1 + s) \\ &= x_1 + 2e + 1 - t - s \\ &= (2e - t) + (x_1 + 1 - s) \\ &\leq 2e - t \end{aligned} \quad (8.2)$$

حالت تساوی وقتی اتفاق می‌افتد که داشته باشیم  $s = x_1 + 1$ . همچنین داریم  $v_0 - y_0 = e - s < e$  و  $y_2 \geq v_2 = 0$ . حال برای اینکه تساوی  $d(v, y) = e$  برقرار باشد، باید داشته باشیم:

$$\begin{aligned} v_1 - y_1 &= x_1 + e + 1 - y_1 = s \\ y_1 &= x_1 - s + e + 1 \geq e + 1 > x_1 \implies x_1 < e + 1 \end{aligned} \quad (9.2)$$

از قبل داشتیم  $x_0 < y_0$ ، همچنین از (۹.۲) داریم:

$$y_1 - x_1 = e + 1 - s$$

برای اینکه رابطه  $d(x, y) = 2e + 1$  برقرار باشد باید داشته باشیم  $y_2 - x_2 = e + s$ . اما غیرممکن است، زیرا:

$$y_2 - x_2 \leq y_2 = \ell - y_0 - y_1 = e < e + s$$

$$y_2 = \ell - y_0 - y_1 = \ell - (\ell - x_1 - 2e - 1 + s) - (x_1 - s + e + 1) = e$$

بنابراین نتیجه می‌گیریم که  $s$  باید صفر باشد. در این صورت داریم  $v_0 - y_0 = e$  و  $d(v, y) = e$ . همچنین باید داشته باشیم:

$$y_1 \geq v_1 = x_1 + e + 1.$$

این رابطه نشان می‌دهد که  $y$  دقیقاً به فرم (۵.۲) است. برای اثبات قسمت آخر ادعا می‌توان دید که  $y_0 < x_0$  است و همچنین  $y_1 - x_1 = e + 1 + u$  و  $d(x, y) = 2e + 1$  برقرار است، پس تساوی  $y_2 - x_2 = e - u$  زمانی صحیح است که  $u < e$  باشد ولی داریم  $y_2 = e - u$ . این در صورتی صحیح است که  $x_2 = 0$  باشد.  $\square$

باتوجه به قضیه قبل فرض کنید دو کدواژه به فرم (۳.۲) و (۵.۲) داریم و فرض کنید رأس  $w$  به فرم زیر باشد:

$$w = (\ell - t - e - 1, x_1 + u, \max\{x_2, y_2\} + 1) \quad (10.2)$$

بطوری که داشته باشیم  $y_2 = e - u$ . برای اینکه نشان دهیم  $w \in \Delta_\ell^2$  است، دو حالت را در نظر می‌گیریم:

۱. اگر  $x_2 > 0$  باشد، آنگاه از (۶.۲) خواهیم داشت  $y_2 = e - u = 0$  و  $\max\{x_2, y_2\} = x_2$  که  $\sum_i w_i = \ell$  می‌باشد.

۲. اگر  $x_2 = 0$  باشد، آنگاه  $x_1 = t$  و  $\max\{x_2, y_2\} = y_2$ . همچنین داریم  $\sum_i w_i = \ell$ . علاوه بر این تساوی  $d(x, w) = d(y, w) = e + 1$  برقرار است.

در نتیجه می‌توان گفت اگر  $x_2 > 0$  باشد، آنگاه داریم  $y_2 = e - u$  و در نتیجه:

$$y = (\ell - x_1 - 2e - 1, x_1 + 2e + 1, 0),$$

و

$$w = (\ell - t - e - 1, x_1 + e, x_2 + 1),$$

اگر  $x_2 = 0$  باشد، آنگاه:

$$y = (\ell - t - 2e - 1, t + 2e + 1 + u, e - u),$$

و

$$w = (\ell - t - e - 1, t + u, y_2 + 1).$$



لم ۳.۲.۲. فرض کنید  $x, y, w \in \Delta_\ell^2$  باشند، بطوری‌که

$$d(x, w) = d(y, w) = e + 1,$$

$$d(x, w + f_{m,\ell}) = d(x, w + f_{k,\ell}) = d(x, w + f_{k,m}) = e.$$

درحقیقت  $w$  خارج از ناحیه‌ی کدگشایی  $x$  و  $y$  می‌باشد. اما همسایه‌ها در امتداد سه جهت متوالی نیستند. آنگاه رأس  $z$  بطوری‌که  $w \in B(z, e)$  باشد و داشته باشیم  $B(z, e) \cap B(x, e) = B(y, e) \cap B(z, e) = \emptyset$  روی جهت  $f_{\ell,k} = -f_{k,\ell}$  وجود دارد، یعنی  $z = w + ef_{\ell,k}$ .

لم ۴.۲.۲. فرض کنید  $x, y \in \Delta_\ell^2$  به ترتیب از (۳.۲) و (۶.۲) داده شده باشد، بنابراین اگر  $t < e$  یا  $t = e$  درحالی‌که  $0 < x_1 < e$ ، آنگاه  $x$  و  $y$  نمی‌توانند کد  $e$  - کامل باشند.

برهان. ابتدا فرض کنید  $x_2 > 0$  باشد. آنگاه باتوجه به نکات قبل  $u = e$  است، در نتیجه:

$$y = (\ell - x_1 - 2e - 1, x_1 + 2e + 1, 0),$$

و طبق (۱۰.۲) به‌فرم زیر می‌باشد:

$$w = (\ell - t - e - 1, x_1 + e, x_2 + 1),$$

بنابراین داریم:

$$w + f_{1,2} = (\ell - t - e, x_1 + e - 1, x_2 + 1),$$

و

$$w + f_{2,1} = (\ell - t - e - 2, x_1 + e + 1, x_2 + 1),$$

با استفاده از تعریف متر به این نتیجه می‌رسیم که  $d(x, w) = d(y, w) = e + 1$  برقرار است و همچنین داریم  $d(x, w + f_{1,2}) = d(y, w + f_{2,1}) = e$ . برقراری رابطه دوم نیازمند دانستن این است که  $t < e$  است یا  $t = e$  می‌باشد در حالی‌که  $x_1 > 0$  باشد. با استفاده از لم ۱.۲.۲ به این نتیجه می‌رسیم که کدواژه  $z$  که ناحیه کدگشایی‌اش شامل  $w$  و جدا از ناحیه کدگشایی  $x$  و  $y$  باشد، وجود ندارد.

حال فرض کنید  $x_2 = 0$  باشد. اگر  $u > 0$ ، آنگاه:

$$x = (\ell - x_1, x_1, 0),$$

$$y = (\ell - x_1 - 2e - 1, x_1 + e + u + 1, e - u),$$

$$w = (\ell - x_1 - e - 1, x_1 + u, e - u + 1),$$

$$w + f_{1,2} = (\ell - x_1 - e, x_1 + u - 1, e - u + 1),$$

درنتیجه روابط زیر را خواهیم داشت:

$$d(x, w) = d(y, w) = e + 1, \quad d(x, w + f_{1,2}) = d(y, w + f_{2,1}) = e$$

و با استفاده از لم ۱.۲.۲ نتیجه به دست می‌آید.  
در نهایت اگر داشته باشیم  $x_2 = 0$  و  $u = 0$ ، آنگاه:

$$\begin{aligned} y &= (\ell - x_1 - 2e - 1, x_1 + e + 1, e), \\ w &= (\ell - x_1 - e - 1, x_1, e + 1), \\ w + f_{1,3} &= (\ell - x_1 - e, x_1, e), \\ w + f_{2,3} &= (\ell - x_1 - e - 1, x_1 + 1, e), \\ w + f_{2,1} &= (\ell - x_1 - e - 2, x_1, e + 1), \end{aligned}$$

بنابراین خواهیم داشت:

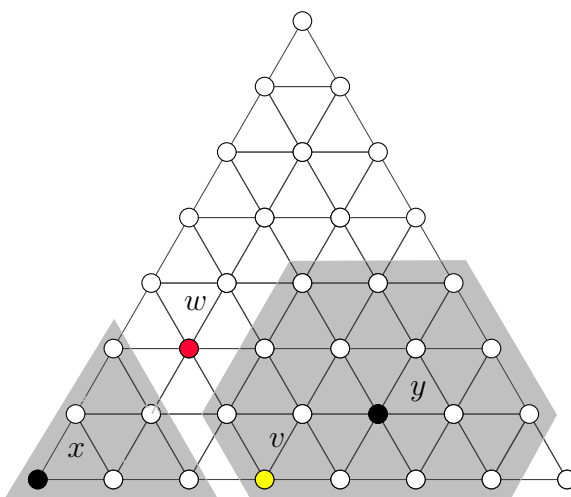
$$d(x, w) = d(y, w) = e + 1,$$

$$d(x, w + f_{1,3}) = e, \quad d(y, w + f_{2,3}) = d(y, w + f_{2,1}) = e.$$

با استفاده از لم ۳.۲.۲ به این نتیجه می‌رسیم که کدواژه  $z$  برای اینکه بتواند  $w$  را پوشش دهد باید به فرم زیر باشد:

$$z = w + ef_{2,3} = (\ell - x_1 - e - 1, x_1 - e, 2e + 1),$$

اما این غیرممکن است زیرا فرض کرده بودیم که  $x_1 < e$  است در این صورت دومین درآیه  $z$  منفی خواهد شد و به تناقض می‌رسیم، در نتیجه حکم ثابت می‌شود.



شکل ۶.۲: تصویر لم ۴.۲.۲

□

قضیه ۲.۲.۲. هیچ کد  $e$ -کاملی در  $\Delta_\ell^2$  وقتی که  $\ell \neq 3e+1$  باشد، وجود ندارد.

برهان. حالت خاصی از قضیه در شکل ۷.۲ نمایش داده شده‌است. در اینجا حالت کلی‌تر را اثبات می‌کنیم. با توجه به استدلال‌های قبلی می‌توانیم فرض کنیم که رأس  $(\ell - e, \circ, e)$  یک کدواژه است. حال رأس  $v = (\ell - e - 1, e + 1, \circ)$  را در نظر بگیرید. با استفاده از لم ۲.۲.۲ نتیجه می‌گیریم به جهت پوشیده شدن  $v$ ، باید  $y = (\ell - 2e - 1, 2e + 1, \circ)$  را کدواژه در نظر بگیریم. همچنین باید  $\ell \geq 2e + 1$  باشد تا کد کامل داشته باشیم. حال  $w = (\ell - 2e - 1, e, e + 1)$  را در نظر بگیرید. داریم  $d(x, w) = d(y, w) = e + 1$ . بنابراین باید کدواژه سوم  $z$  مانند  $z$  وجود داشته باشد که  $w$  را پوشش دهد. همچنین توجه کنید که داریم:

$$d(y, w + f_{2,3}) = d(x, w + f_{1,2}) = d(x, w + f_{1,3}) = e,$$

پس با توجه به لم ۳.۲.۲ نتیجه می‌گیریم که کدواژه‌ای مانند  $z$  به فرم  $w + ef_{3,1}$  وجود دارد. درحقیقت یعنی  $z = (\ell - 3e - 1, e, 2e + 1)$ ، بنابراین برای داشتن کد کامل باید  $\ell \geq 3e + 1$  باشد. از قبل حالت  $\ell = 3e + 1$  بررسی شده است، لذا فرض کنید  $\ell > 3e + 1$  باشد. حال رأس  $u = (\ell - 3e - 2, 2e + 1, e + 1)$  را در نظر بگیرید. داریم  $d(z, u) = d(y, u) = e + 1$  و  $d(x, u) = 2e + 2$ . بنابراین برای اینکه پوشیده شدن  $u$  به چهارمین کدواژه مانند  $q$  نیاز داریم. از آنجایی که داریم  $d(z, u + f_{1,2}) = d(z, u + f_{3,2}) = d(y, u + f_{1,3}) = e$ ، طبق لم ۳.۲.۲ نتیجه می‌گیریم که  $q = (\ell - 4e - 2, 3e + 1, e + 1)$  است. در نتیجه باید  $\ell \geq 4e + 1$  باشد تا کد کامل داشته باشیم. در نهایت رأس  $p = (\ell - 3e - 2, 3e + 2, \circ)$  را در نظر بگیرید. فاصله‌ی کدواژه‌های  $x, y, z$  و  $q$  بیشتر از  $e$  است و در نتیجه به کدواژه‌ی دیگری برای پوشش آن نیاز داریم. ولی با توجه به اینکه داریم:

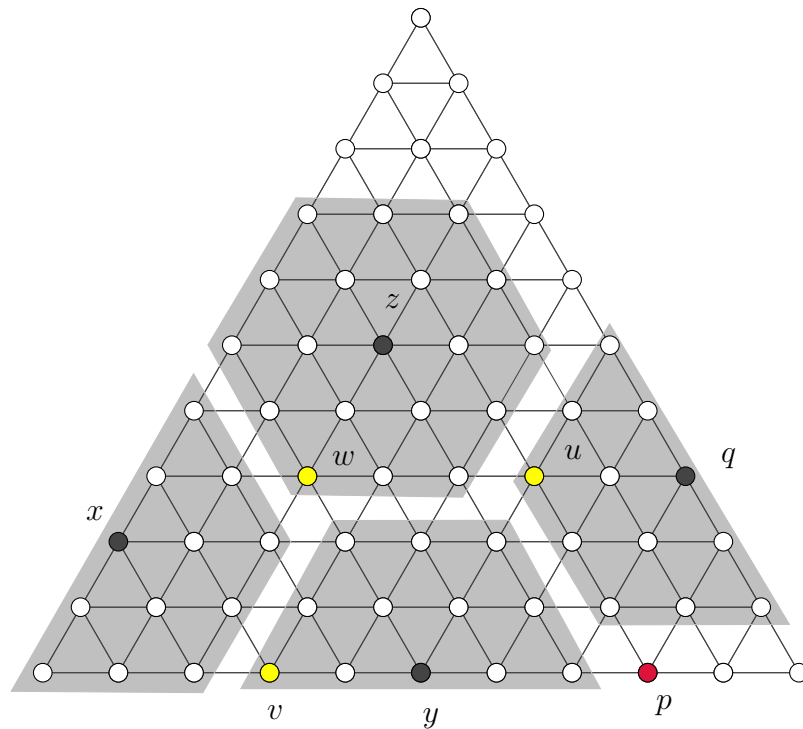
$$d(q, p) = d(y, p) = e + 1$$

و

$$d(q, p + f_{3,1}) = d(q, p + f_{3,2}) = d(y, p + f_{1,2}) = e$$

این کدواژه را باید بصورت  $p + ef_{2,3} = (\ell - 3e - 2, 4e + 2, -e)$  داشته باشیم که غیرممکن است چون درآیه منفی دارد.

□



شکل ۷.۲: تصویر قضیه ۲.۲.۲

### ۳.۲ کدهای کامل در سادک‌های گسسته با ابعاد بالاتر

در این بخش مراتب بالاتر را بررسی می‌کنیم. مانند دو بعد قبلی می‌توان گفت برای هر  $x \in \Delta_\ell^n$  رأسی مانند  $y \in \Delta_\ell^n$  وجود دارد که یک مسیر از  $x$  به  $y$  را می‌توان یافت. اینکار با استفاده از بردارهای  $f_{i,j}$  که مشابه قبل در  $i$ -امین جایگاه ۱ و در  $j$ -امین جایگاه  $-1$  قرار می‌گیرد. به عنوان مثال:

$$f_{1,2} = (1, -1, 0, \dots, 0).$$

یعنی برای هر  $y \in \Delta_\ell^n$  می‌توان نوشت:

$$y = x + \sum_{i,j} \alpha_{i,j} f_{i,j}, \quad (11.2)$$

که برای هر مقدار صحیح  $\alpha_{i,j} \geq 0$  برقرار است. اگر  $d(x, y) = \delta$  آنگاه  $y$  با این ویژگی‌ها وجود دارد بطوری که  $\sum_{i,j} \alpha_{i,j} = \delta$  است.

ادعای بعدی ما همان لم ۱.۲.۲ است که به ابعاد بالاتر تعمیم داده شده است. فرض کنید دو کدواژه  $x$  و  $y$  در اختیار است که رأس  $w$  خارج از فضای کدگشایی آن دو قرار دارد. این لم ادعا می‌کند که اگر  $w$  توسط  $B(x, e)$  و  $B(y, e)$  از جهتی مانند  $f_{1,2}$  محدود شده باشد، آنگاه کدواژه  $z$  که  $w$  را پوشش می‌دهد در زیرفضای متعامد  $f_{1,2}$  قرار دارد. یعنی  $z$  باید به فرم زیر

باشد:

$$z = w + (0, 0, s_2, \dots, s_n), \quad (12.2)$$

درحالی که  $\sum_i s_i = 0$  و  $\sum_i |s_i| = 2e$  می‌باشد.

لم ۱.۳.۲. فرض کنید  $x, y, w \in \Delta_\ell^n$  باشد، بطوری که

$$d(x, w) = d(y, w) = e + 1$$

$$d(x, w + f_{1,2}) = e$$

$$d(y, w + f_{2,1}) = e$$

برقرار باشد. آنگاه رأس  $z$  بطوری که  $w \in B(z, e)$  باشد و روابط  $B(x, e) \cap B(z, e) = \emptyset$  و  $B(y, e) \cap B(z, e) = \emptyset$  برقرار باشد، باید به فرم زیر باشد:

$$z = w + \sum_{i,j \notin \{1,2\}} \alpha_{i,j} f_{i,j}, \quad (13.2)$$

بطوری که  $\sum_{i,j \notin \{1,2\}} \alpha_{i,j} = e$  و  $\alpha_{i,j} \geq 0$  می‌باشد.

برهان. رأس  $z$  در فاصله‌ی  $e$  از  $w$  قرار دارد، چون اگر فاصله بیشتر باشد آنگاه گوی  $B(z, e)$  شامل  $w$  نمی‌شود و اگر فاصله کمتر باشد آنگاه  $B(x, e)$  و  $B(y, e)$  تداخل پیدا می‌کنند. بنابراین می‌توان گفت:

$$z = w + \sum_{i,j} \alpha_{i,j} f_{i,j}, \quad (14.2)$$

درحالی که داریم  $\alpha_{i,j} \geq 0$  و  $\sum_{i,j} \alpha_{i,j} = e$ . باید نشان دهیم در چنین حالتی باید  $\alpha_{i,j} = 0$  باشد در صورتی که  $i \in \{1, 2\}$  یا  $j \in \{1, 2\}$  است. فرض کنید درست نباشد و برای مثال داشته باشیم  $\alpha_{1,3} > 0$ . از آنجایی که می‌دانیم  $f_{1,3} = f_{1,2} + f_{2,3}$  می‌توانیم بنویسیم:

$$\begin{aligned} z &= w + f_{1,2} + f_{2,3} + (\alpha_{1,3} - 1)f_{1,3} + \sum_{(i,j) \neq (1,3)} \alpha_{i,j} f_{i,j} \\ &= w + f_{1,2} + \sum_{i,j} \beta_{i,j} f_{i,j}, \end{aligned} \quad (15.2)$$

جایی که  $\beta_{i,j} \geq 0$  و  $\sum_{i,j} \beta_{i,j} = e$  باشد که یعنی  $d(z, w + f_{1,2}) = e$ ، اما در فرض داشتیم  $d(x, w + f_{1,2}) = e$ ، به این معنی که  $B(x, e) \cap B(z, e) = \emptyset$  می‌باشد که تناقض است.  $\square$

ملاحظه ۱.۳.۲. جهت‌های متعامد در سادک دو بعدی  $\Delta_\ell^2$  وجود ندارد، باتوجه به مفهوم لم قبلی اگر  $w$  بین  $B(x, e)$  و  $B(y, e)$  قرار گرفته باشد، آنگاه هیچ  $z$  ای با این خصوصیات وجود ندارد که  $w \in B(z, e)$  باشد و داشته باشیم  $B(z, e) \cap B(x, e) = \emptyset$  و  $B(z, e) \cap B(y, e) = \emptyset$ . این دقیقاً همان حکم لم ۱.۲.۲ است.

در ادامه عدم وجود کدهای کامل را اثبات می‌کنیم. همانطور که در دو بخش قبلی داشتیم، با در نظر گرفتن رأس  $(\ell, \circ, \dots, \circ)$  شروع می‌کنیم. برای اینکه این رأس پوشیده شود باید کدواژه‌ای به فرم زیر وجود داشته باشد:

$$x = (\ell - t, x_1, \dots, x_n), \quad (16.2)$$

در حالی که  $x_1 + \dots + x_n = t \leq e$  است. بدون از دست دادن کلیت مسأله فرض می‌کنیم  $x_1 > \circ$  باشد، همچنین داشته باشیم  $t > \circ$ . حال رأس زیر را در نظر بگیرید:

$$v = (\ell - x_1 - e - 1, x_1 + e + 1, \circ, \dots, \circ), \quad (17.2)$$

داریم  $d(x, v) = e + 1$ . بنابراین رأس  $v$  توسط  $B(x, e)$  پوشیده نمی‌شود، برای اینکه پوشیده شود به کدواژه دیگری مانند  $y$  نیاز است که  $d(v, y) = e$  و  $d(x, y) = 2e + 1$  باشد.

**لم ۲.۳.۲.** رأس  $y$  که در روابط  $d(v, y) = e$  و  $d(x, y) = 2e + 1$  صدق می‌کند به فرم زیر است:

$$y = (\ell - x_1 - 2e - 1, x_1 + e + 1 + u, y_2, \dots, y_n), \quad (18.2)$$

که  $0 \leq u \leq e$  و  $y_2 + \dots + y_n = e - u$  است و با این ویژگی که اگر:

$$x_i > \circ \Rightarrow y_i = \circ, \quad i = 2, \dots, n \quad (19.2)$$

برهان. فرض کنید  $y = (\ell - x_1 - 2e - 1 + s, y_1, \dots, y_n)$  باشد بطوری که  $s \in \mathbb{Z}$  است اگر  $s < \circ$ ، آنگاه  $s > e$ ،  $d(v, y) \geq v_\circ - y_\circ = e - s > e$  می‌باشد که با یکی از فرض‌های لم در تناقض است. نشان داده می‌شود حالت  $s > \circ$  همیشه غیرممکن است. فرض کنید  $x_\circ > y_\circ$  باشد، در غیراینصورت رأس  $(\ell, \circ, \dots, \circ)$  توسط  $x$  و  $y$  پوشیده خواهد شد. فرض کنید  $s \leq x_1$ ، در غیراینصورت خواهیم داشت  $x_\circ - y_\circ \leq 2e - t$  و مجموع  $x_i$  های باقی‌مانده برابر  $t$  می‌شود، یعنی:

$$\begin{aligned} d(x, y) &= \sum_{x_i > y_i} (x_i - y_i) = x_\circ - y_\circ + \sum_{i > \circ, x_i > y_i} (x_i - y_i) \\ &\leq x_\circ - y_\circ + \sum_{i > \circ} x_i \leq 2e, \end{aligned} \quad (20.2)$$

از آنجایی که  $v_\circ - y_\circ = e - s < e$  و  $\forall i \geq 1, y_i \geq v_i = \circ$  است برای به دست آوردن  $d(v, y) = e$  باید داشته باشیم  $v_1 - y_1 = x_1 + e + 1 - y_1 = s$  بنابراین:

$$y_1 = x_1 - s + e + 1 \geq e + 1 > x_1, \quad (21.2)$$

که اولین تساوی از فرض  $s \leq x_1$  به دست آمده است. از آنجایی که داریم  $x_\circ < y_\circ$  و همچنین  $y_1 - x_1 = e + 1 - s$  به منظور داشتن  $d(x, y) = e + 1$  باید داشته باشیم:

$$\sum_{i \geq 2} y_i > x_i (y_i - x_i) = e + s.$$

اما غیرممکن است، زیرا:

$$\sum_{i \geq 2, y_i > x_i} (y_i - x_i) \leq \sum_{i \geq 2} y_i = \ell - y_0 - y_1 = e < e + s \quad (22.2)$$

که از (۲۱.۲) استفاده کردیم. بنابراین نتیجه می‌گیریم که  $s$  باید صفر باشد. در این حالت داریم  $v_0 - y_0 = e$  و همچنین  $d(v, y) = e$  و نیز باید داشته باشیم  $y_1 \geq v_1 = x_1 + e + 1$ . این نشان می‌دهد که  $y$  دقیقاً به فرم (۱۸.۲) است. برای اثبات قسمت آخر ادعا توجه کنید که  $y_0 < x_0$  و  $y_1 - x_1 = e + 1 + u$  و  $d(x, y) = 2e + 1$  بیانگر این است که:

$$\sum_{i \geq 2, y_i > x_i} (y_i - x_i) = e - u,$$

اما داریم  $\sum_{i \geq 2} y_i = e - u$ ، این فقط در صورتی می‌تواند درست باشد که  $x_i = 0$  شود هر زمان که برای  $i \geq 2$  داشته باشیم  $y_i > 0$ .  $\square$

بنابراین فرض کنید دو کدواژه به فرم (۱۶.۲) و (۱۸.۲) داریم. رأس زیر را در نظر بگیرید:

$$w = (\ell - t - e - 1, x_1 + u, \max\{x_2, y_2\} + 1, \max\{x_3, y_3\}, \dots, \max\{x_n, y_n\}). \quad (23.2)$$

با استفاده از (۱۹.۲) درمی‌یابیم که  $w \in \Delta_\ell^n$  وجود دارد که  $d(x, w) = d(y, w) = e + 1$  بنابراین به سومین کدواژه که بتواند  $w$  را پوشش دهد، نیاز داریم، اما این کدواژه وجود ندارد چون فرض کنید  $u > 0$  باشد، آنگاه داریم  $d(x, w + f_{1,2}) = e$  و  $d(y, w + f_{2,1}) = e$ . با توجه به لم ۱.۳.۲ می‌دانیم کدواژه  $z$  که  $w$  را پوشش دهد باید به فرم  $z = w + (0, 0, s_2, \dots, s_n)$  باشد بطوری که  $\sum_i s_i = 0$  و  $\sum_i |s_i| = 2e$  است. برقراری دومین تساوی نیازمند این است که  $d(z, w) = e$  باشد. بنابراین داریم:

$$z = (\ell - t - e - 1, x_1 + u, \max\{x_2, y_2\} + 1 + s_2, \max\{x_3, y_3\} + s_3, \dots, \max\{x_n, y_n\} + s_n). \quad (24.2)$$

همچنین  $x_0 - z_0 = e + 1$  و  $x_1 < z_1$  است. به منظور برقراری  $d(x, z) = 2e + 1$  باید داشته باشیم:

$$\sum_{i \geq 2, x_i > z_i} (x_i - z_i) = e, \quad (25.2)$$

بطور مشابه از  $z_0 > y_0$  و  $y_i - z_i = e + 1$  نتیجه می‌گیریم که:

$$\sum_{i \geq 2, y_i > z_i} (y_i - z_i) = e, \quad (26.2)$$

اما (۲۵.۲) و (۲۶.۲) باهم نمی‌توانند برقرار باشند زیرا طبق (۱۹.۲)  $x_i$  ها و  $y_i$  ها بطور همزمان مثبت نمی‌شوند. یعنی چون  $\sum_{s_i < 0} |s_i| = e$  است حتی اگر  $d(y, z) = 2e + 1$  باشد هیچ  $s_i$

منفی‌ای وجود ندارد که (۲۵.۲) برقرار باشد. لذا نتیجه می‌گیریم که امکان ندارد کدواژه‌ای مانند  $z$  تحت پوشش  $w$  پیدا کنیم و ناحیه کدگشایی جدا از کدواژه‌های  $x$  و  $y$  باشد. حالت  $u = \circ$  را در نظر می‌گیریم. در این حالت داریم:

$$y = (\ell - x_1 - 2e - 1, x_1 + e + 1, y_2, \dots, y_n) \quad (27.2)$$

توجه کنید که  $y_2 + \dots + y_n = e$  و در نتیجه می‌توانیم فرض کنیم  $y_2 > \circ$ ، رأس زیر را در نظر بگیرید:

$$w' = (\ell - t - e - 1, x_1 + 1, y_2 - 1, \max\{x_3, y_3\} + 1, \max\{x_4, y_4\}, \dots, \max\{x_n, y_n\}). \quad (28.2)$$

در این صورت خواهیم داشت  $d(x, w' + f_{1,2}) = d(y, w' + f_{2,1}) = e$  و  $d(x, w') = d(y, w') = e + 1$ . بنابراین، کدواژه‌ی  $z'$  تحت پوشش  $w'$  بصورت  $z' = w' + (\circ, \circ, r_2, \dots, r_n)$  می‌باشد بطوری‌که  $\sum_i |r_i| = e$  و  $\sum_i r_i = \circ$  است. طبق استدلال بالا نتیجه می‌گیریم که نمی‌توان بطور همزمان  $d(x, z') = 2e + 1$  و  $d(y, z') = 2e + 1$  برقرار باشد و در نتیجه کدواژه‌ی  $z$  که تحت پوشش  $w'$  و جدا از ناحیه‌ی کدگشایی  $x$  و  $y$  باشد، وجود ندارد.



## فصل ۳

# کدهای چندمجموعه‌ای در کانال‌های جایگشتی

در این فصل وجود کدهای چندمجموعه‌ای کامل که اندازه- ثابت هستند، را بررسی می‌کنیم [۲۷]. ویژگی‌های کامل چنین کدهایی در حالت دودویی و سه‌تایی بدست آمده است. فضای تحت نظر ما مجموعه همه چندمجموعه‌ای‌های روی  $A$  با اندازه  $\ell$  دارای متر  $d$  است که هم‌ارز با فضای  $\Delta_\ell^{q-1}$  تحت متر  $d$  می‌باشد.

### ۱.۳ الفبای دودویی

فضای  $(\Delta_\ell, d)$  را می‌توان به صورت یک گراف نمایش داد که مجموعه رئوس آن  $\Delta_\ell$  بوده و یال‌های آن رئوس به فاصله یک از هم را متصل می‌کنند.



شکل ۱.۳: کد چندمجموعه‌ای ۱- کامل

قضیه ۱.۱.۳. کد چندمجموعه‌ای  $e$ -کامل غیربدیهی در  $\mathcal{M}(2, \ell)$  برای هر  $\ell \geq 2e+1$  وجود دارد. چنین کدی،  $\lceil \frac{\ell+1}{2e+1} \rceil$  کدواژه دارد.

برهان. توجه کنید که قطر  $(\Delta_\ell^j, d)$  برابر  $\ell$  است. همچنین می‌دانیم که هر دو کدواژه از کد  $e$ -کامل باید در فاصله بزرگتر یا مساوی  $2e+1$  قرار گیرد. در صورتی کد کامل غیربدیهی وجود دارد که  $\ell \geq 2e+1$  باشد. بنابراین فرض کنید  $\ell = (2e+1)k + j$  برای هر  $k \geq 1$  و  $0 \leq j < 2e+1$ . آنگاه داریم:

$$C_1 = \left\{ (\ell - \lfloor \frac{j}{2e+1} \rfloor - (2e+1)i, \lfloor \frac{j}{2e+1} \rfloor + (2e+1)i); i = 0, \dots, k \right\}. \quad (1.3)$$

وجود مجموعه  $\lfloor \frac{j}{2e+1} \rfloor$  برای جابجایی به اندازه یک رأس و وجود  $(2e+1)i$  برای جابجایی به اندازه یک کدواژه می‌باشد. کد کامل موردنظر در  $\Delta_\ell^j$ ، دارای  $|C_1| = k+1 = \lceil \frac{\ell+1}{2e+1} \rceil$  کدواژه می‌باشد. برای درستی رابطه اخیر باید نشان دهیم که گوی‌هایی با شعاع  $e$  به مرکز کدواژه‌ها وجود دارند که مجزا بوده و فضای کل  $\Delta_\ell^j$  را پوشش می‌دهند. توجه کنید که هر دو کدواژه به فرم زیر در فاصله  $d(x, y) = 2e+1$  از هم قرار دارند:

$$x = \left( \ell - \lfloor \frac{j}{2e+1} \rfloor - (2e+1)i, \lfloor \frac{j}{2e+1} \rfloor + (2e+1)i \right),$$

$$y = \left( \ell - \lfloor \frac{j}{2e+1} \rfloor - (2e+1)(i+1), \lfloor \frac{j}{2e+1} \rfloor + (2e+1)(i+1) \right),$$

به این معنا که گوی‌هایی به شعاع  $e$  در اطراف آنها بصورت مجزا قرار دارند، یعنی همه رأس‌های بین کدواژه‌ها پوشیده شده‌اند. برای بررسی اینکه کل  $\Delta_\ell^j = \{(\ell - t, t); t = 0, \dots, \ell\}$  پوشیده شده‌است، کافی است نشان دهیم رئوس پایانی پوشیده شده‌اند، که درواقع این مهم اتفاق می‌افتد، زیرا  $(\ell, 0)$  در فاصله  $\lfloor \frac{j}{2e+1} \rfloor \leq e$  از کدواژه  $(\ell - \lfloor \frac{j}{2e+1} \rfloor, \lfloor \frac{j}{2e+1} \rfloor)$  قرار دارد، پس  $(\ell, 0)$  پوشیده شده‌است. همچنین  $(0, \ell)$  در فاصله  $\lfloor \frac{j}{2e+1} \rfloor \leq e$  از کدواژه  $(\lfloor \frac{j}{2e+1} \rfloor, \ell - \lfloor \frac{j}{2e+1} \rfloor)$  قرار دارد (حالت  $i = k$  در (۱.۳)). در نتیجه کل رئوس پوشیده شده‌اند و کد چندمجموعه‌ای  $e$ -کامل غیربدیهی در  $\mathcal{M}(2, \ell)$  برای هر  $\ell \geq 2e+1$  وجود دارد.

□

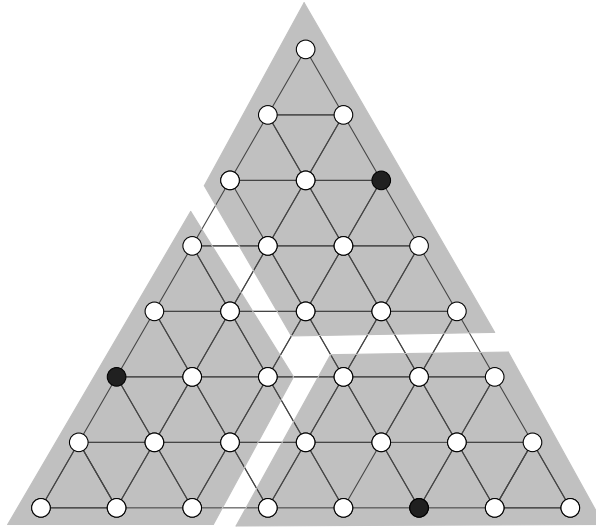
## ۲.۳ الفبای سه‌تایی

همانند حالت دودویی می‌توانیم سادک  $\Delta_\ell^2$  را به شکل گراف نمایش دهیم. اگر  $\ell = 3e+1$  آنگاه به راحتی می‌توان دید که کد کامل وجود دارد. درواقع در این حالت دقیقاً دو کد به صورت زیر وجود دارد:

$$C_1' = \{(l - e, e, 0), (0, l - e, e), (e, 0, l - e)\}$$

$$C_2' = \{(l - e, 0, e), (e, l - e, 0), (0, e, l - e)\} \quad (2.3)$$

به‌گونه‌ای که  $l - e = 2e + 1$ . در ادامه اثبات می‌کنیم که فقط دو کد کامل به فرم (۲.۳) در این حالت وجود دارد و اگر  $l \neq 3e + 1$  باشد، آنگاه هیچ کد کاملی وجود نخواهد داشت.



شکل ۲.۳: کد چندمجموعه‌ای ۲-کامل

**قضیه ۱.۲.۳.** کد چندمجموعه‌ای  $e$ -کامل غیربدیهی در  $M(3, l)$  وجود دارد اگر و تنها اگر  $l = 3e + 1$  باشد. بنابراین دقیقاً دو کد کامل در  $M(3, 3e + 1)$  وجود دارد که هر دوی آنها از اندازه سه می‌باشند.

برهان. اثبات قضیه را به سه قسمت تقسیم کرده که هر کدام از آنها شامل اثبات یک ادعا می‌باشد.

**ادعا ۱.** رئوس  $(l, 0, 0)$ ،  $(0, l, 0)$  و  $(0, 0, l)$  نمی‌توانند کدواژه‌های کد کامل در  $\Delta_l^3$  باشند.

برهان. به خلف فرض کنید  $x = (l, 0, 0)$  کدواژه باشد. رأس  $y = (l - e - 1, e + 1, 0)$  در فاصله  $e + 1$  از  $x$  قرار دارد. رأس  $y$  باید در فاصله کوچکتر یا مساوی  $e$  از هر کدواژه دیگری مانند  $z$  باشد تا فاصله  $x$  از کدواژه  $z$  برابر  $e + 1$  شود. درواقع این فاصله از  $z$  باید دقیقاً  $e$  باشد، چون در غیراینصورت گوی‌های به شعاع  $e$  اطراف  $x$  و  $z$  تداخل پیدا می‌کنند، زیرا داریم:

$$d(x, z) \leq d(x, y) + d(y, z) < 2e + 1.$$

می‌توان دید که فقط رئوس زیر به فاصله  $e$  از  $y$  و فاصله  $2e + 1$  از  $x$  قرار دارند:

$$(l - (2e + 1), 2e + 1, 0)$$

$$(\ell - (2e + 1), 2e, 1)$$

⋮

$$(\ell - (2e + 1), e + 1, e)$$

بنابراین می‌توانیم فرض کنیم که  $z = (\ell - (2e + 1), 2e + 1 - i, i)$  به ازای هر  $i \in \{0, \dots, e\}$  کدواژه خواهد بود.

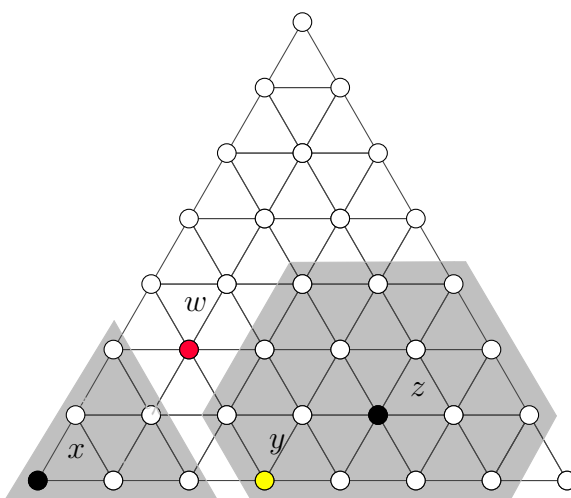
در شکل ۳.۳ رأس  $w = (\ell - (e + 1), e - i, i + 1)$  را در نظر بگیرید. در این صورت، داریم:

$$d(x, w) = e + 1 = d(z, w)$$

و لذا  $w$  به وسیله  $B(x, e)$  و  $B(z, e)$  پوشیده نمی‌شود. چون قصد ساخت کد کامل را داریم،  $w$  باید پوشیده شود؛ بنابراین باید کدواژه‌های  $v$  وجود داشته باشد بطوری که روابط زیر برقرار باشد:

$$B(v, e) \cap B(x, e) = \emptyset, \quad B(v, e) \cap B(z, e) = \emptyset.$$

اما با توجه به شکل ۳.۳، چنین کدواژه‌ای وجود ندارد. در نتیجه حکم ثابت می‌شود.



شکل ۳.۳: اثبات ادعا ۱

□

از آنجایی که رأس  $(\ell, 0, 0)$  باید پوشیده شود، پس می‌بایست کدواژه‌ای با فاصله کمتر یا مساوی  $e$  از آن قرار داشته باشد. رئوسی که در فاصله کمتر یا مساوی  $e$  از  $(\ell, 0, 0)$  قرار دارند به فرم  $(\ell - j, i, j - i)$  می‌باشند بطوری که  $j \in \{0, \dots, e\}$  و  $i \in \{0, \dots, j\}$ .

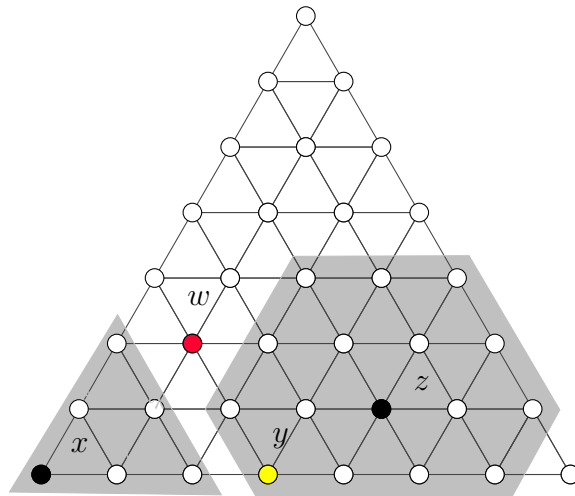
در ادامه اثبات می‌کنیم که هیچ یک از این رأس‌ها نمی‌توانند کدواژه‌های کد کامل باشند به غیر از  $(\ell - e, e, \circ)$  و  $(\ell - e, \circ, e)$ .

**ادعا ۲.** رؤس  $(\ell - j, i, j - i)$  که  $\circ < j < e$  یا  $\circ < i < j$  نمی‌توانند کدواژه‌های کد کامل در  $\Delta_\ell^2$  باشند.

برهان. این ادعا مشابه ادعای قبلی اثبات می‌شود.

فرض کنید  $x = (\ell - j, i, j - i)$  به عنوان کدواژه انتخاب شده باشد، که  $\circ < j < e$  یا  $j = e$  اما  $\circ < i < e$ . رأس  $y = (\ell - i - e - 1, i + e + 1, \circ)$  را در نظر بگیرید. باید  $z = (\ell - i - 2e - 1, i + e, j - i + 1)$  را کدواژه قرار دهیم تا  $y$  پوشیده شود. حال  $w = (\ell - j - e - 1, i + e, j - i + 1)$  را در نظر بگیرید و نتیجه می‌گیریم که توسط هر گوی دیگری که مجزا از  $B(x, e)$  و  $B(z, e)$  است، نمی‌تواند پوشیده شود.

□



شکل ۴.۳: اثبات ادعا ۲

دو ادعای قبلی نشان می‌دهند که  $(\ell - e, e, \circ)$  و  $(\ell - e, \circ, e)$  می‌توانند کدواژه باشند اگر رأس  $(\ell, \circ, \circ)$  پوشیده شود، همچنین برای دو رأس دیگر بطور مشابه برقرار است. این نشان می‌دهد که فقط کدهای اشاره شده در (۲.۳) کدهای کامل در  $\Delta_{e+1}^2$  می‌باشند.

**ادعا ۳.** هیچ کد کاملی در  $\Delta_\ell^2$  برای  $\ell \neq 3e + 1$  وجود ندارد.

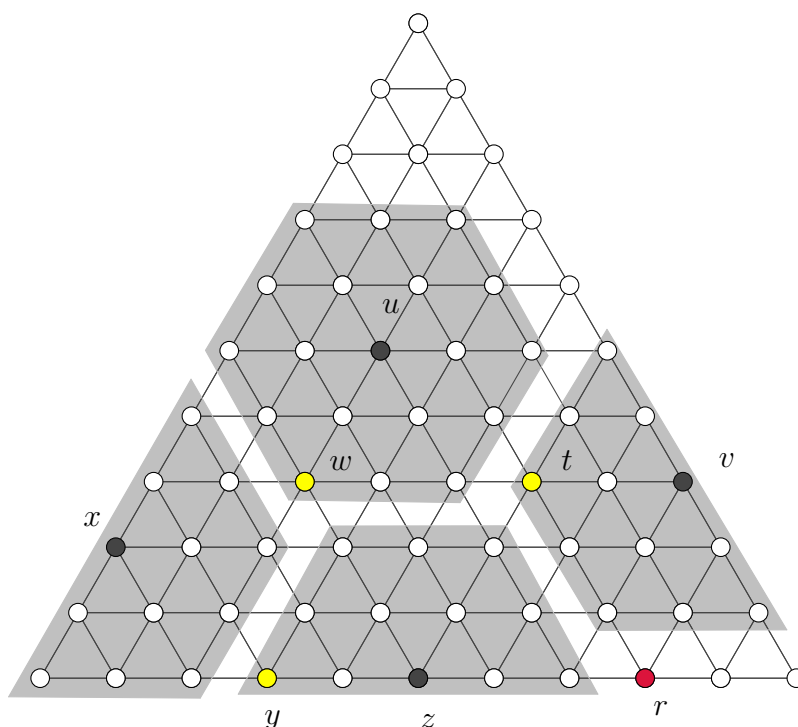
برهان. فرض کنید  $x = (\ell - e, \circ, e)$  کدواژه باشد. رأس  $y = (\ell - e - 1, e + 1, \circ)$  را در نظر بگیرید. همانطور که در اثبات ادعا ۲ داشتیم، می‌دانیم برای این منظور که  $y$  پوشیده شود باید رأس  $z = (\ell - 2e - 1, 2e + 1, \circ)$  را کدواژه در نظر بگیریم. بنابراین باید داشته باشیم  $\ell \geq 2e + 1$  تا کد مد نظر، غیربدیهی باشد. حال  $w = (\ell - 2e - 1, e, e + 1)$  را در نظر بگیرید. داریم:

$$d(x, w) = d(z, w) = e + 1,$$

و بنابراین سومین کدواژه باید وجود داشته باشد تا  $w$  را پوشش دهد. در شکل ۵.۳ مشخص است که تنها حالت ممکن  $u = (\ell - 3e - 1, e, 2e + 1)$  است و باید داشته باشیم  $\ell \geq 3e + 1$  تا کد کامل وجود داشته باشد. بنابراین فرض کنید  $\ell > 3e + 1$  و رأس  $t = (\ell - 3e - 2, 2e + 1, e + 1)$  را در نظر بگیرید. داریم:

$$d(z, t) = d(u, t) = e + 1.$$

بنابراین برای اینکه  $t$  پوشیده شود به چهارمین کدواژه نیاز داریم که فقط برای یک حالت ممکن است، یعنی  $v = (\ell - 4e - 2, 3e + 1, e + 1)$ . در نهایت رأس  $r = (\ell - 3e - 2, 3e + 2, \circ)$  را در نظر بگیرید. به راحتی در شکل دیده می‌شود که  $r$  پوشیده نمی‌شود. در نتیجه، اثبات ادعا ۳ کامل می‌شود و در نتیجه قضیه ثابت می‌شود.



شکل ۵.۳: اثبات ادعا ۳

با توجه به ادعای ۱ و ۲ و ۳ قضیه ۱.۲.۳ اثبات می‌شود.

## ۳.۳ حذف، وارد کردن و جایگزینی در کانال‌های جایگشتی

در این بخش خصوصیات کلی از کانال‌های جایگشتی را شرح می‌دهیم و خطاهایی مانند حذف<sup>۱</sup>، جایگزینی<sup>۲</sup> و وارد کردن<sup>۳</sup> را روی کانال بررسی می‌کنیم [۲۹].

### ۱.۳.۳ مدل کانال

فرض کنید کانالی ارتباطی روی دنباله‌های انتقالی داریم که نمادهایش بطور تصادفی جایگشت داده شده اند و به شکل زیر نمایش داده می‌شود:

$$s_1 s_2 \dots s_n \rightsquigarrow s_{\pi(1)} s_{\pi(2)} \dots s_{\pi(n)} \quad (3.3)$$

جایی که  $s_i$ ،  $(1 \leq i \leq n)$  نمادهایی از الفبای ورودی  $A = \{a_1, \dots, a_q\}$  هستند و  $\pi$  به‌طور تصادفی از مجموعه تمام جایگشت‌های روی مجموعه  $\{1, \dots, n\}$  انتخاب شده است. بنابراین فرض کنید این کانال انواع اختلال روی دنباله انتقالی را پیاده می‌کند؛ یعنی وارد کردن، حذف و جایگزینی و پاک شدن نمادها. وارد کردن یعنی در دنباله دریافتی نمادی از  $A$  وجود دارد که منتقل نشده‌بود. حذف یعنی نمادی که منتقل شده‌بود، در دنباله دریافتی ظاهر نشد. جایگزینی یعنی نمادی که منتقل شده با نماد دیگری تعویض شده است. پاک شدن، جابجایی نماد منتقل شده با نماد "؟" است که  $A \notin ?$ .

### ۲.۳.۳ تصحیح خطا در کانال‌های جایگشتی

ابتدا روی حالتی که اختلال‌ها در کانال، جایگشت‌های تصادفی هستند، تمرکز می‌کنیم. کدواژه‌ها در این حالت به‌عنوان چندمجموعه‌ای روی الفبای کانال توصیف می‌شوند.

برای دنباله  $S = (s_1, \dots, s_n) \in A^n$  تعریف می‌کنیم  $X^s = (x_1^s, \dots, x_q^s) \in \mathbb{Z}_+^q$ . به این معنا که  $x_i^s$  تعداد پیشامدهای نماد  $a_i \in A$  در  $S$  می‌باشد. بطور واضح داریم  $x_i^s \geq 0$  و همچنین  $\sum_{i=1}^q x_i^s = n$  است. توجه داشته باشید که دو دنباله  $S, \tilde{S} \in A^n$  جایگشت‌هایی از یکدیگر هستند اگر و فقط اگر ترکیب مشابهی داشته باشند، یعنی اگر و تنها اگر  $x^{\tilde{s}} = x^s$  باشد. بنابراین اگر دنباله منتقل شده با اطمینان در خروجی کانال جایگشتی بازیابی شود، آنگاه تنها یک دنباله با ترکیب نمادی خاص می‌تواند کدواژه معتبر باشد.

به این ترتیب نتیجه می‌گیریم؛ کدواژه‌ها برای این کانال به وسیله ترکیبشان بطور منحصر به فرد تعیین می‌شوند و می‌توانند به عنوان بردارهای صحیح  $x = (x_1, \dots, x_q) \in \mathbb{Z}_+^q$  توصیف شوند که  $\mathbb{Z}_+ = \{0, 1, 2, \dots\}$  است. کدواژه‌ها را می‌توانیم چندمجموعه‌ای‌های  $S = \{s_1, \dots, s_n\}$

<sup>۱</sup>Deletion

<sup>۲</sup>Substitution

<sup>۳</sup>Insertion



روی الفبای کانال در نظر بگیریم. چندگانه‌های عناصر  $A$  در  $S$  به وسیله بردارها به فرم  $x^s = (x_1^s, \dots, x_q^s) \in \mathbb{Z}_+^q$  مشخص شده‌اند، بطوری که داشته باشیم  $x_i^s \geq 0$  و  $\sum_{i=1}^q x_i^s = n$ . توجه داشته باشید که اگر کدواژه‌ها توسط بردارهای صحیح توصیف شوند، در واقع این بردارها نیستند که از طریق کانال جایگشتی ارسال می‌شوند، یعنی اگر  $X = (x_1, \dots, x_q) \in \mathbb{Z}_+^q$  یک کدواژه باشد، آنگاه چیزی که در حال انتقال است  $x_1$  نسخه‌ای از نماد  $a_1$ ،  $x_2$  نسخه‌ای از نماد  $a_2$  و ... می‌باشند. بنابراین  $\sum_{i=1}^q x_i$  را می‌توان به عنوان طول کدواژه  $X$  بیان کرد، چون این تعداد نمادها است که منتقل شده‌است. در ادامه با فضای زیر ادامه می‌دهیم:

$$\Delta_n^{q-1} = \{X \in \mathbb{Z}_+^q : \sum_{i=1}^q x_i = n\}. \quad (4.3)$$

مجموعه  $\Delta_n^{q-1}$  سادک گسسته از طول  $n$  و با بعد  $q-1$  و اندازه  $\binom{n+q-1}{q-1} = |\Delta_n^{q-1}|$  می‌باشد.

**ملاحظه ۱.۳.۳.** کد چندمجموعه‌ای از طول  $n$  روی الفبای  $q$ -تایی، یک زیرمجموعه از  $\Delta_n^{q-1}$  است که حداقل دو عضو دارد. لازم است هر کد، حداقل دو کدواژه داشته باشد. می‌توان این فضا را حالت محدود شده‌ی مشبکه  $A_{q-1}$  در نظر گرفت. بطوری که:

$$A_{q-1} = \{X \in \mathbb{Z}_+^q : \sum_{i=1}^q x_i = 0\}. \quad (5.3)$$

از این پس فرض می‌کنیم انواع خطا یعنی وارد کردن، حذف و جایگزینی در مدل کانال موجود است. می‌توانیم کانال مورد نظر را به صورت زیر تعریف کنیم:

ورودی‌های کانال، چندمجموعه‌ای‌های با اندازه  $n$  روی  $A$  می‌باشند و خروجی‌های کانال، چندمجموعه‌ای‌های با اندازه دلخواه روی  $A$  هستند و کانال روی چندمجموعه‌ای منتقل شده عمل می‌کند که امکان دارد تعدادی از نمادهایش حذف شده باشد یا اضافه شده باشد یا عنصری جای آن با عنصر دیگری از  $A$  تعویض شده باشد (جایگزینی).

فرض کنید  $e_i \in \mathbb{Z}_+^q$  یک بردار واحد باشد به طوری که در  $i$ -امین جایگاهش عدد ۱ و در بقیه جایگاه‌ها عدد صفر قرار داشته باشد. اگر چندمجموعه‌ای دریافت شده‌ی  $\tilde{S}$  به وسیله وارد کردن یک نماد  $a_i$  به  $S$  تولید شده باشد، آنگاه داریم  $X^{\tilde{s}} = X^s + e_i$ . بطور مشابه حذف  $a_i$  از  $S$  به معنی  $X^{\tilde{s}} = X^s - e_i$  و جایگزینی  $a_i$  به وسیله  $a_j$  که یعنی  $X^{\tilde{s}} = X^s - e_i + e_j$  است. گوییم یک کد می‌تواند  $h_{ins}$  وارد کردن و  $h_{del}$  حذف و  $h_{sub}$  جایگزینی را تصحیح کند اگر هر کدواژه بتواند به طور یکتا با یک الگوی دلخواه از تعداد کوچکتر یا مساوی  $h_{del}$  حذف، کوچکتر یا مساوی  $h_{ins}$  وارد کردن و کوچکتر یا مساوی  $h_{sub}$  جایگزینی بازیابی شود.

**قضیه ۱.۳.۳.** فرض کنید  $C \subseteq \Delta_n^{q-1}$  یک کد چندمجموعه‌ای باشد و  $h_{ins}$ ،  $h_{del}$  و  $h_{sub}$  صحیح نامنفی باشند و داریم  $h = h_{ins} + h_{del} + 2h_{sub}$ . در این صورت اگر  $C$  بتواند  $h_{ins}$  وارد کردن،  $h_{del}$  حذف و  $h_{sub}$  جایگزینی را صحیح کند، آنگاه  $C$  می‌تواند  $h$  حذف را صحیح کند.

برهان. توجه کنید از آنجایی که هر جایگزینی می‌تواند به عنوان ترکیبی از حذف و وارد کردن در نظر گرفته شود و برعکس، در این صورت قسمت اول هم‌ارز عبارت زیر است:

$C$  می‌تواند  $h_{ins} + h_{sub}$  وارد کردن و  $h_{del} + h_{sub}$  حذف را تصحیح کند.

اثبات می‌کنیم که فرض کنید حکم برقرار نباشد. به این معنا که دو کدواژه متفاوت  $x$  و  $y$  وجود دارد بطوری که  $x - f = y - g$  برای هر بردار  $f$  و  $g$  که  $f_i, g_i \geq 0$  و  $\sum_{i=1}^q f_i = \sum_{i=1}^q g_i = h$  وجود دارند.  $f$  و  $g$  نشان‌دهنده  $h$  حذف از  $x$  و  $y$  می‌باشند. تعریف می‌کنیم  $f = f^{del} + f^{ins}$  و  $g = g^{del} + g^{ins}$ . که  $f^{del}$  و  $f^{ins}$  و  $g^{del}$  و  $g^{ins}$  بردارهای دلخواه هستند بطوری که  $f^{del}, f^{ins}, g^{del}, g^{ins} \geq 0$  و همچنین داریم:

$$\sum_{i=1}^q f_i^{del} = \sum_{i=1}^q g_i^{del} = h_{sub} + h_{del},$$

$$\sum_{i=1}^q f_i^{ins} = \sum_{i=1}^q g_i^{ins} = h_{ins} + h_{sub}.$$

آنگاه  $x - f^{del} + g^{ins} = y - g^{del} + f^{ins}$  که یعنی  $C$  نمی‌تواند  $h_{ins} + h_{sub}$  وارد کردن و  $h_{del} + h_{sub}$  حذف را تصحیح کند. در نتیجه فرض نمی‌تواند درست باشد.

□

از قضیه ۱.۳.۳ نتیجه می‌گیریم زمانی که بحث تصحیح خطا در کانال‌های جایگشتی مطرح است، باید فرض کنیم که حذفیات فقط نوعی از خطای افزایش در کانال هستند. متری که روی  $\Delta_n^{q-1}$  برای هدف ما مناسب باشد، فاصله  $\ell_1$  است:

$$d(x, y) = \frac{1}{q} \sum_{i=1}^q |x_i - y_i|.$$

می‌توان فضای متریک  $(\Delta_n^{q-1}, d)$  به عنوان گرافی با  $\binom{n+q-1}{q-1}$  رأس نمایش داد. فاصله  $d(x, y)$  دقیقاً همان فاصله گراف بین رأس‌هایی مانند  $x$  و  $y$  است، یعنی کوتاهترین مسیر بین آنها. مینیمم فاصله کد  $C \subseteq \Delta_n^{q-1}$  با رابطه  $d(\cdot, \cdot)$  را به وسیله  $\delta(C)$  نمایش می‌دهیم.

**قضیه ۲.۳.۳.** کد چندمجموعه‌ای  $C \subseteq \Delta_n^{q-1}$  تعداد  $h$  حذف را تصحیح می‌کند اگر و تنها اگر مینیمم فاصله آن  $h$  باشد، یعنی  $\delta(C) > h$ .

برهان. فرض کنید  $x$  و  $y$  دو کدواژه با فاصله  $\delta(C)$  باشند، آنگاه  $f = y - x$  به طوری که  $\sum_{i=1}^q f_i = 0$  و  $\sum_{i=1}^q |f_i| = 2\delta(C)$  است. فرض کنید  $f^+ = \max(f, 0)$  و  $f^- = \max(-f, 0)$  قسمت مثبت و منفی  $f$  هستند. بنابراین  $f = f^+ - f^-$ . آنگاه:

$$y - f^+ = x - f^-$$

### حذف، وارد کردن و جایگزینی در کانال‌های جایگشتی ۴۳

---

از آنجایی که  $f_i^+ \geq 0$  و  $\sum_{i=0}^q f_i^+ = \delta(C)$  و  $f_i^- \geq 0$  و  $\sum_{i=1}^q f_i^- = \delta(C)$  در نتیجه هر دو  $f^+$  و  $f^-$  می‌توانند به عنوان الگوهای توصیف رئوس خطا از  $\delta(C)$  حذف از  $x$  و  $y$  در نظر گرفته شود. به این معناست که  $C$  نمی‌تواند  $\delta(C)$  حذف را تصحیح کند. عکس این استدلال نشان می‌دهد که  $C$  همیشه کمتر از  $\delta(C)$  حذف را می‌تواند تصحیح کند. زیرا در غیراینصورت دو کلمه در فاصله‌ی کمتر از  $\delta(C)$  قرار می‌گیرند که تناقض است.  $\square$



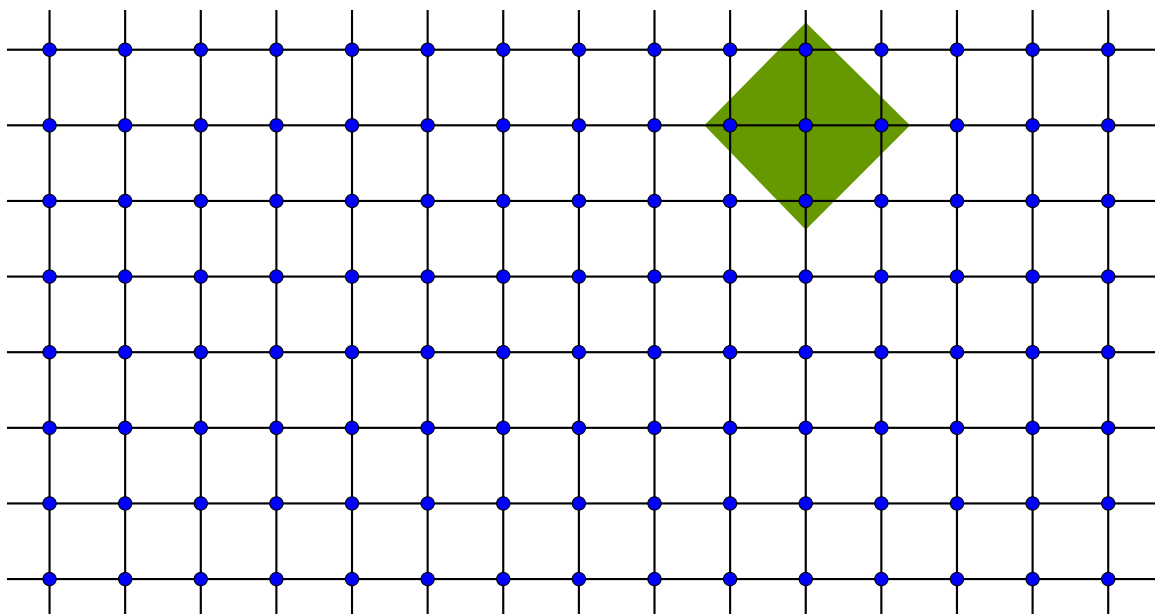
## فصل ۴

# بررسی کدهای کامل در شبکه‌های $\mathbb{Z}^n$ و $A_n$

بسته‌بندی در شبکه یک مسأله با زمینه هندسی تصحیح خطا، در بسیاری از سیستم‌های انتقال اطلاعات و ذخیره‌سازی می‌باشد. در این فصل به بررسی بسته‌بندی در شبکه‌های  $A_n$  و  $\mathbb{Z}^n$  با استفاده از متر  $\ell_1$  می‌پردازیم.

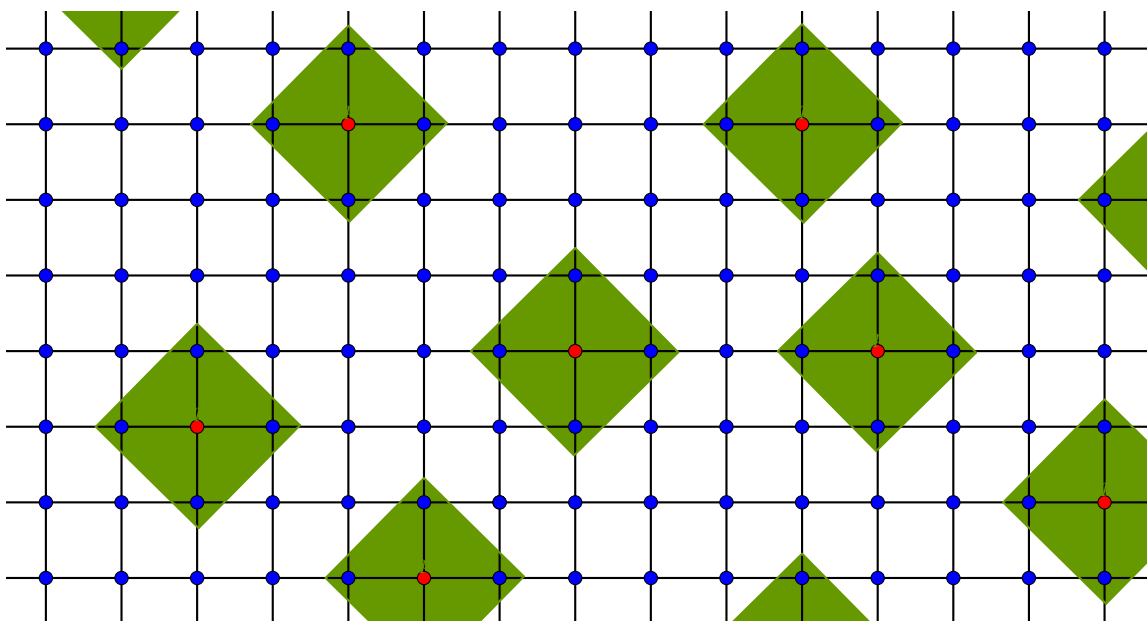
### ۱.۴ کدهای کامل در شبکه $\mathbb{Z}^n$

در شکل زیر، فضای  $\mathbb{Z}^2$  را نشان داده‌ایم، که در آن مجموعه  $S$  نمایش داده شده است. می‌خواهیم با استفاده از مجموعه  $S$  و مجموعه انتقال‌های فضای کل را پوشش دهیم.



شکل ۱.۴: مجموعه  $S = \{(0,0), (\pm 1,0), (0,\pm 1)\}$  روی  $\mathbb{Z}^2$

حال مجموعه انتقال‌های  $S$  را در شکل زیر می‌بینیم:



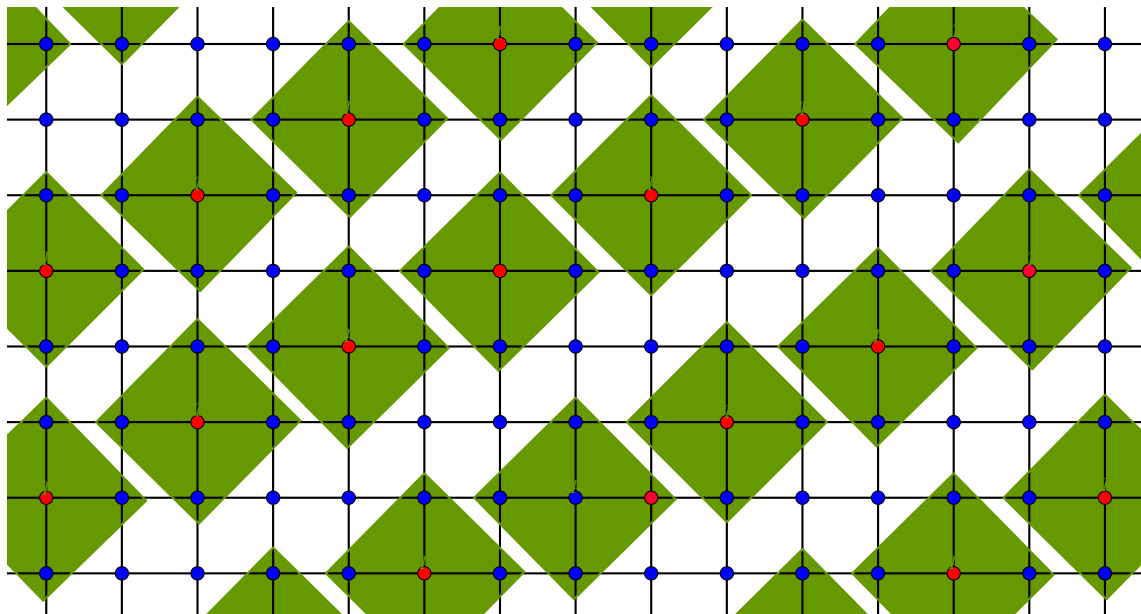
شکل ۲.۴: مجموعه انتقال‌های  $S$

می‌خواهیم مجموعه  $T$  که بردارهای آن مجزا هستند و تمام مشبکه  $\mathbb{Z}^n$  را فرش می‌کند پیدا کنیم، یعنی:

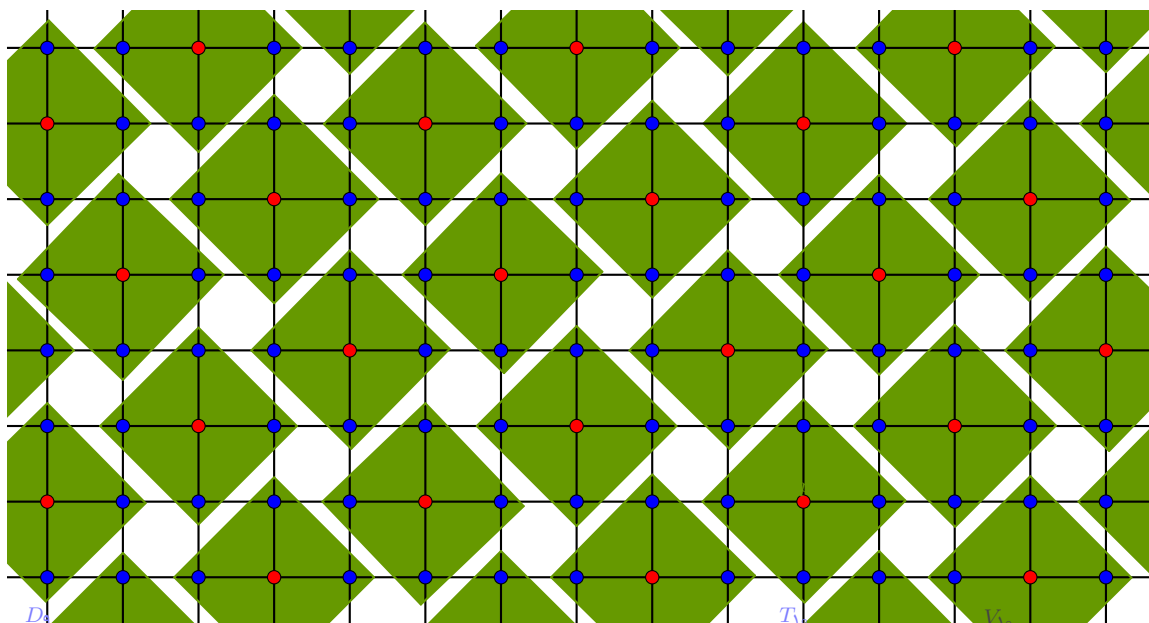
$$(X + S) \cap (Y + S) = \emptyset \quad \forall X, Y \in T, X \neq Y.$$

$$\bigcup_{X \in T} (X + S) = \mathbb{Z}^n$$

درواقع فرش کردن، متراکم‌ترین پوشش ممکن است. اگر  $(S, \mathcal{L})$  یک پوشش مشبکه‌ای باشند، آنگاه  $\mathcal{L}$  یک کد خطی است. اگر  $(S, \mathcal{L})$  قابل فرش کردن باشد،  $T$  کد کامل است. در شکل زیر حالت بسته‌بندی و فرش شده‌ی مشبکه  $\mathbb{Z}^2$  را می‌بینیم:



شکل ۳.۴: یک نوع بسته‌بندی در  $\mathbb{Z}^2$



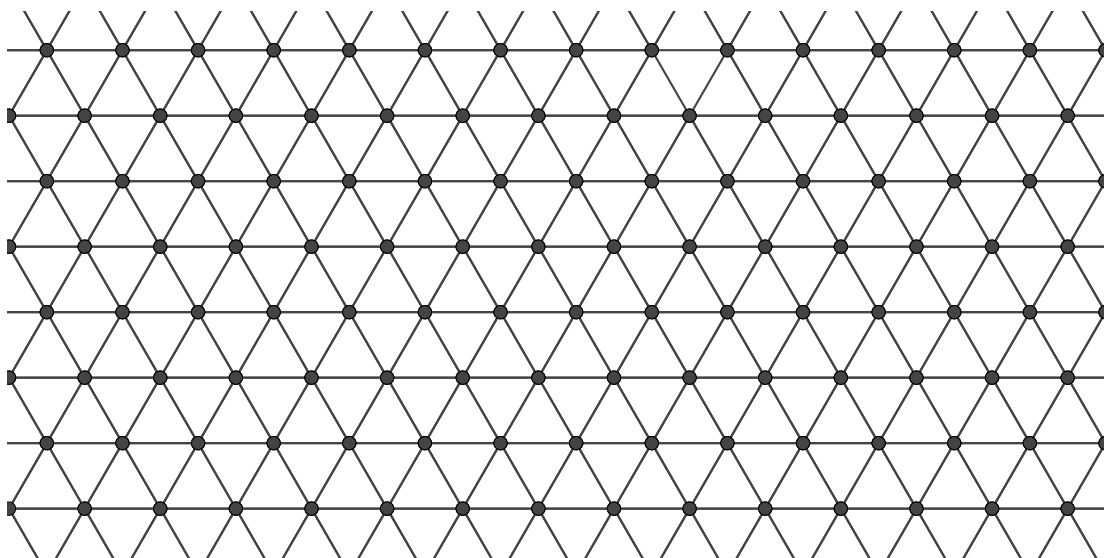
شکل ۴.۴: فرش کردن  $\mathbb{Z}^2$

همانطور که از شکل‌ها پیداست، با هر شعاعی می‌توان گوی‌هایی در این مشبکه رسم کرد تا کد کامل داشته باشیم.



## ۲.۴ کدهای کامل در شبکه $A_n$

حال به بررسی شبکه  $A_n$  می‌پردازیم. فرض کنید  $A$  مجموعه متناهی از نمادها باشد که آن را الفبای کانال می‌نامیم. کانال جایگشتی روی الفبای کانال، کانالی ارتباطی است که دنباله‌ای از نمادهای  $A$  را به‌عنوان ورودی می‌گیرد و به ازای هر ورودی یک جایگشت تصادفی از آن دنباله را خارج می‌کند. در کانال جایگشتی خطاهایی رخ می‌دهد که شامل حذف، افزایش و یا جابجایی می‌باشد. شبکه  $A_2$  در زیر نشان داده شده است. همانطور که مشخص است فضای  $\Delta_2^2$  قسمتی از این شبکه می‌باشد.

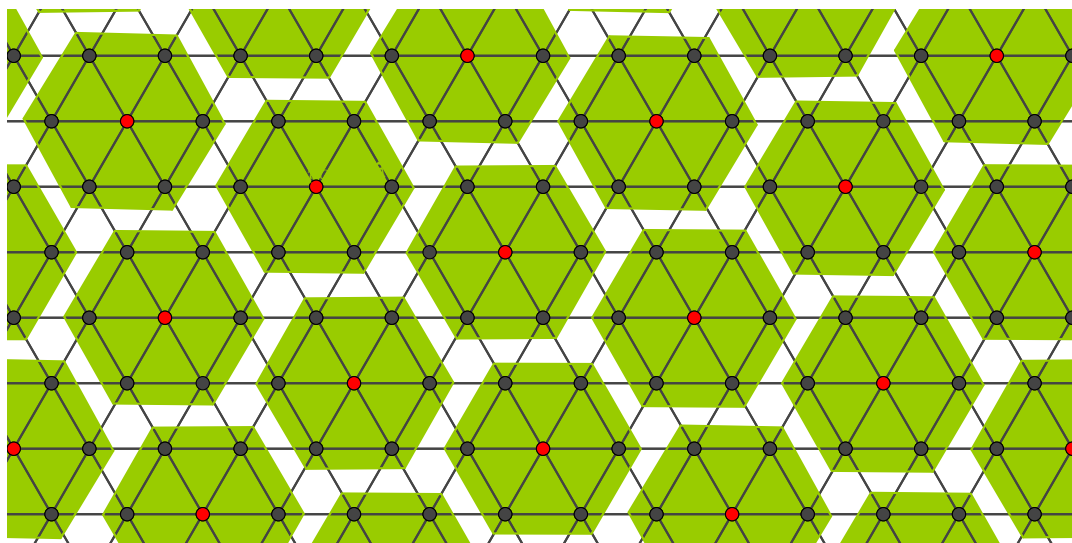


شکل ۵.۴: شبکه  $A_2$

قصد داریم کدهای کامل را در این شبکه با ابعاد مختلف رسم کنیم. کدهای کامل در  $A_1$  و  $A_2$  برای هر اندازه شعاعی وجود دارد. کد کامل با شعاع  $r = 1$

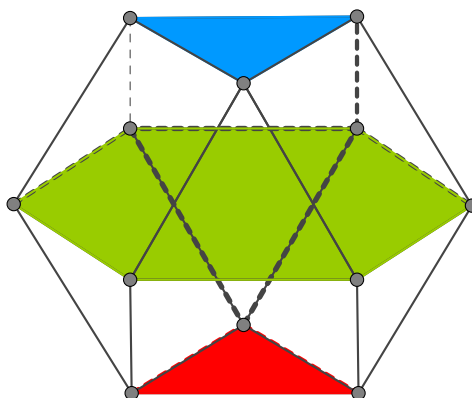


شکل ۶.۴: کد کامل در  $A_1$

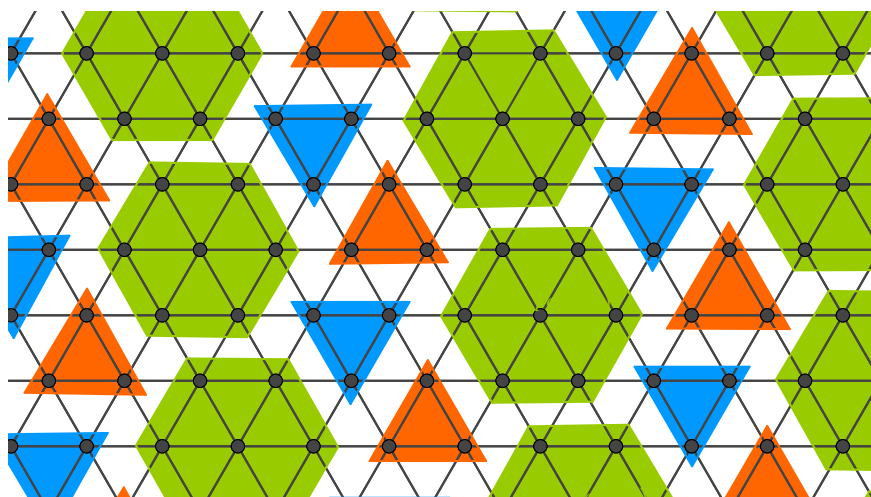


شکل ۷.۴: کد کامل در  $A_2$

شکل زیر نمایش کد کامل در  $A_3$  می‌باشد. نمایش تمام کدها در این مشبک مشکل است، به همین علت در ادامه این کدها را روی صفحه‌ای مسطح نشان می‌دهیم. برای ابعاد بالاتر در صورتی وجود دارد که  $n$  توانی از عدد اول باشد. به عنوان مثال، برای  $n = 8 = 2^3$  کد کامل با شعاع  $r = 1$  وجود دارد.



شکل ۸.۴: کد کامل در  $A_3$



شکل ۹.۴: حالت مسطح کد کامل در  $A_3$



# مراجع

- [1] M. Aigner, *Combinatorial Theory*, Springer, New York (1979).
- [2] B. Albdaiwi, P. Horak, L. Milazzo, Enumerating and decoding perfect linear Lee codes, *Des. Codes Cryptogr.*, 52(2). (2009), 155–162.
- [3] J. Astola, On perfect Lee codes over small alphabets of odd cardinality, *Discret. Appl. Math.*, 4. (1982), 227–228.
- [4] D.W. Bange, A.E. Barkauskas, Slater P.J, Efficient dominating sets in graphs. In: Ringeisen R.D., Roberts F.S. (eds.) *Applications of Discrete Mathematics*, 189–199. SIAM, Philadelphia (1988).
- [5] D.P. Bertsekas, R. Gallager, *Data Networks*, 2nd edn. Prentice Hall, Englewood Cliffs (1992).
- [6] M.R. Best, Perfect codes hardly exist, *IEEE Trans. Inf. Theory.*, 29(3). (1983), 349–351.
- [7] N. Biggs, Perfect codes in graphs, *J. Comb. Theory (B)* 15(3). (1973), 289–296.
- [8] J.A. Bondy, U.S.R. Murty. *Graph theory with applications*. London: Macmillan, 1976.
- [9] P.A.H. Bours, On the construction of perfect deletion-correcting codes using design theory, *Des. Codes Cryptogr.* 6(1). (1995), 5–20.
- [10] L. Chihara, On the zeros of the Askey–Wilson polynomials, with applications to coding theory, *SIAM J. Math. Anal.* 18(1). (1987), 191–207.
- [11] G. Cohen, I. Honkala, S. Litsyn, A. Lobstein, *Covering Codes*, Elsevier, Amsterdam (1997).
- [12] P. Delsarte, An algebraic approach to association schemes and coding theory, *Philips J. Res.* 10.(1973), 1–97.
- [13] T. Etzion, On the nonexistence of perfect codes in the Johnson scheme, *SIAM J. Discret. Math.* 9(2).(1996), 201–209.

- [14] T. Etzion, Configuration distribution and designs of codes in the Johnson scheme, *J. Comb. Des.*, 15(1).(2007), 15–34.
- [15] T. Etzion, Product constructions for perfect Lee codes, *IEEE Trans. Inf. Theory*, 57(11). (2011),7473–7481.
- [16] T. Etzion, M. Schwartz, Perfect constant-weight codes, *IEEE Trans. Inf. Theory*, 50(9). (2004), 2156–2165.
- [17] T. Etzion, A. Vardy, Perfect binary codes: constructions, properties, and enumeration, *IEEE Trans. Inf. Theory* 40(3). (1994), 754–763.
- [18] T. Etzion, A. Vardy, Error-correcting codes in projective space, *IEEE Trans. Inf. Theory*, 57(2).(2011), 1165–1173.
- [19] M. Gadouleau, A. Goupil, *Binary codes for packet error and packet loss correction in store and forward*, In, Proceedings of the International ITG Conference on Source and Channel Coding, Siegen, Germany (2010)
- [20] M. Gadouleau, A.Goupil, Amatroid framework for noncoherent random network communications, *IEEE Trans. Inf. Theory* , 57(2). (2011), 1031–1045.
- [21] S.W. Golomb, L.R. Welch, Perfect codes in the Lee metric and the packing of polyominoes, *SIAM J. Appl. Math.*, 18(2). (1970), 302–317.
- [22] D.M. Gordon, Perfect single error-correcting codes in the Johnson scheme, *IEEE Trans. Inf. Theory* 52(10). (2006), 4670–4672.
- [23] P. Horak, Tilings in Lee metric, *Eur. J. Comb.*, 30(2). (2009), 480–489.
- [24] P. Horak, On perfect Lee codes, *Discret. Math.*, 309(18).(2009), 5551–5561.
- [25] R. Kötter, F.R. Kschischang, Coding for errors and erasures in random network coding, *IEEE Trans. Inf. Theory* ,54(8). (2008), 3579–3591.
- [26] M. Kovačević, D. Vukobratović, Subset codes for packet networks, *IEEE Commun. Lett.*, 17(4).(2013), 729–732.
- [27] M. Kovačević, D. Vukobratović, Multiset codes for permutation channels, Available online at: arXiv:1301.7564.

- [28] M. Kovačević, D. Vukobratović, Perfect Codes in the Discrete Simplex, *Des. Codes Cryptogr.*, 75(1). (2015), 81–95.
- [29] V.I. Levenshtein, On perfect codes in deletion and insertion metric, *Discret. Math. Appl.*, 2(3). (1992), 241–258
- [30] F.J. MacWilliams, N.J.A. Sloane, *The Theory of Error-Correcting Codes*, North-Holland, Amsterdam (1977).
- [31] W.J. Martin, X.J. Zhu, Anticodes for the Grassmann and bilinear forms graphs. *Des. Codes Cryptogr.* 6(1). (1995), 73–79.
- [32] K.A. Post, Nonexistence theorem on perfect Lee codes over large alphabets, *Inf. Control* 29(4). (1975), 369–380.
- [33] C. Roos, A note on the existence of perfect constant weight codes, *Discret. Math.*, 47. (1983), 121–123.
- [34] O. Shimabukuro, On the nonexistence of perfect codes in  $J(2w+ p2,w)$ , *Ars Comb.*, 75. (2005), 129–134.
- [35] S. Špacapan, Non-existence of face-to-face four dimensional tiling in the Lee metric, *Eur. J. Comb.*, 28(1). (2007), 127–133.
- [36] A. Tietäväine, On the nonexistence of perfect codes over finite fields, *SIAM J. Appl. Math.*, 24(1). (1973), 88–96.
- [37] J. H. Van Lint, *Nonexistence theorems for perfect error-correcting codes*, In: Computers in Algebra and Number Theory, vol. IV, SIAM-AMS Proceedings (1971).
- [38] J.H. Van Lint, J. Hendricus. *Introduction to coding theory*. Springer Science, Business Media, 2012.
- [39] V.A. Zinoviev, V.K. Leontiev, The nonexistence of perfect codes over Galois fields, *Probl. Control Inf. Theory.*, 2. (1973), 123–132.





# واژه‌نامه فارسی به انگلیسی

Code alphabet	الفبای کد
Code cardinality	اندازه کد
Packing	بسته‌بندی
Multiplicity function	تابع چندگانگی
Characteristic function	تابع مشخصه
Substitution	جایگزینی
Multi-set	چندمجموعه
Deletion	حذف
Discrete simplex	سادک گسسته
Hamming distance	فاصله همینگ
Tiling	فرش کردن
Communication channel	کانال ارتباطی
Permutation channel	کانال جایگشتی
Constant-cardinality code	کد اندازه-ثابت
Block code	کد بلوکی
Linear code	کد خطی
Decoding	کدگشایی
Encoding	کدگذاری
Codeword	کدواژه
Perfect code	کد کامل
Integer code	کد صحیح
Manhattan metric	متر منهتن
Lattice	مشبکه
Insertion	وارد کردن
Hamming weight	وزن همینگ



# واژه‌نامه انگلیسی به فارسی

Block code	کد بلوکی
Characteristic function	تابع مشخصه
Code alphabet	الفبای کد
Code cardinality	اندازه کد
Codeword	کدواژه
Communication channel	کانال ارتباطی
Constant-cardinality code	کد اندازه-ثابت
Decoding	کدگشایی
Deletion	حذف
Discrete simplex	سادک گسسته
Distance transitive	فاصله تعدی
Encoding	کدگذاری
Hamming distance	فاصله همینگ
Hamming weight	وزن همینگ
Insertion	وارد کردن
Integer codes	کدهای صحیح
Lattice	مشبکه
Linear code	کد خطی
Manhattan metric	متر منهتن
Multiplicity function	تابع چندگانگی
Multi-set	چندمجموعه
Packing	بسته‌بندی
Perfect code	کد کامل
Permutation channel	کانال جایگشتی
Substitution	جایگزینی
Tiling	فرش کردن



## Abstract

Designing proper codes, in both theoretical and applied perspectives, is considered as an important problem in the coding theory. Since appearance of coding theory, many researchers has tried so much and thereby has generated various interesting kinds of these codes. In this thesis, we want to study the existence or nonexistence of perfect codes in discrete simplexes and multi-set codes in permutation channels. First, it is discussed about the introduction of coding theory and required definitions for the remaining chapters. Then perfect codes in discrete simplex are analyzed in different dimensions and we conclude that perfect codes always exists in the case of binary alphabet, whereas in the case of ternary alphabet we have perfect codes just in some special cases. Actually we show that perfect codes in 1-simplex exist for any  $\ell \geq 2e + 1$ , the 2-simplex admits a perfect code if and only if  $\ell = 3e + 1$ , while there are no perfect codes in higher dimensional simplexes. In other words, perfect codes exist only over binary and ternary alphabets. Then we investigate multi-set codes in permutation channels and errors including deletion, insertion and substitution in permutation channels. Finally, existence of perfect codes in  $A_n$  and  $\mathbb{Z}^n$  lattices are investigated.

Keywords: Perfect code, Discrete simplex, Permutation channel, Multi-set code,  $A_n$  Lattice,  $\mathbb{Z}^n$  Lattice, Insertion, Deletion, Substitution.



**Shahrood University of Technology**

**Faculty Of Mathematical Sciences**

**MSc Thesis in: Graph and Combinatorics**

**On Perfect and Multi-set Codes over  
Permutation Channels and Discrete  
Simplexes**

**By: Anese Eslami**

**Supervisors**

**Dr. Sadegh Rahimi Sharbaf**

**Dr. Abdollah Alhevaz**

**July 2017**